

# Electrónica de Comunicaciones

## CONTENIDO RESUMIDO:

1- Introducción

### 2- Osciladores

3- Mezcladores.

4- Lazos enganchados en fase (PLL).

5- Amplificadores de pequeña señal para RF.

6- Filtros pasa-banda basados en resonadores piezoeléctricos.

7- Amplificadores de potencia para RF.

8- Demoduladores de amplitud (AM, DSB, SSB y ASK).

9- Demoduladores de ángulo (FM, FSK y PM).

10- Moduladores de amplitud (AM, DSB, SSB y ASK).

11- Moduladores de ángulo (PM, FM, FSK y PSK).

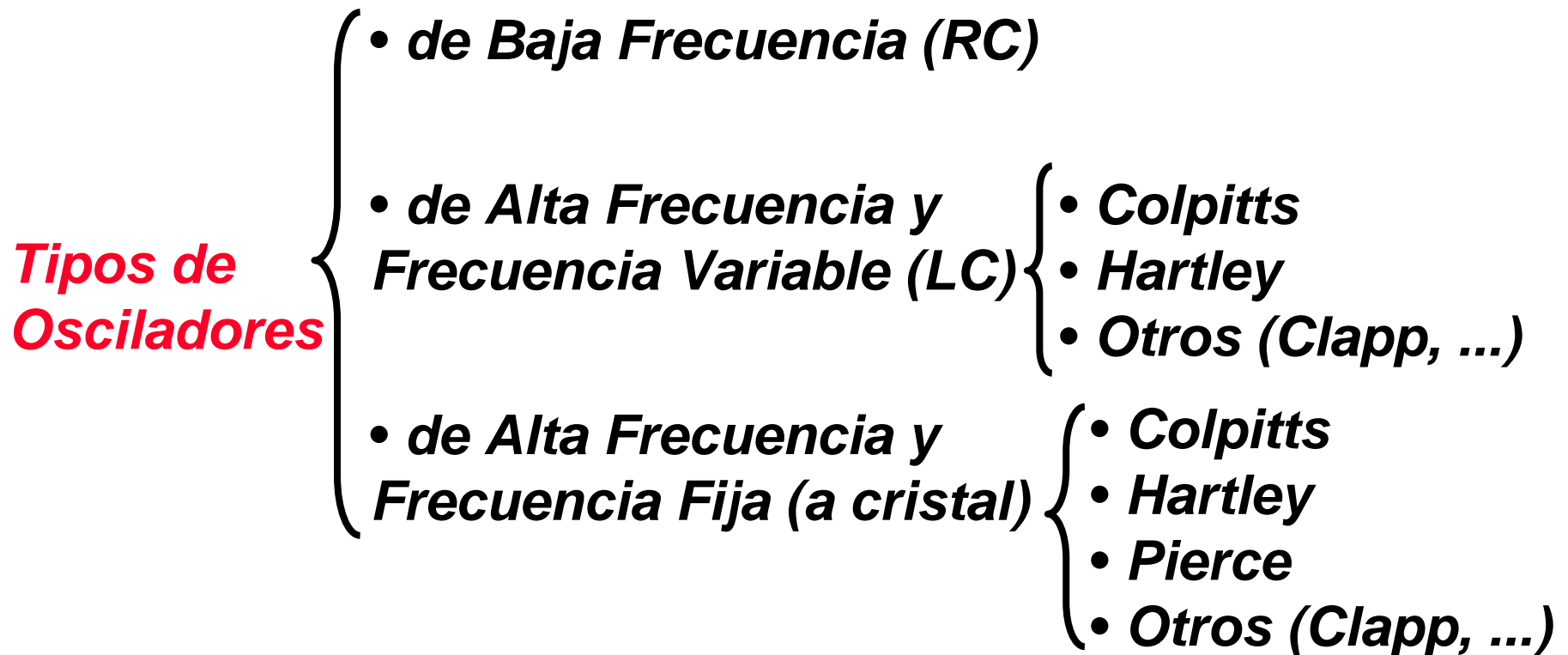
12- Tipos y estructuras de receptores de RF.

13- Tipos y estructuras de transmisores de RF.

14- Transceptores para radiocomunicaciones

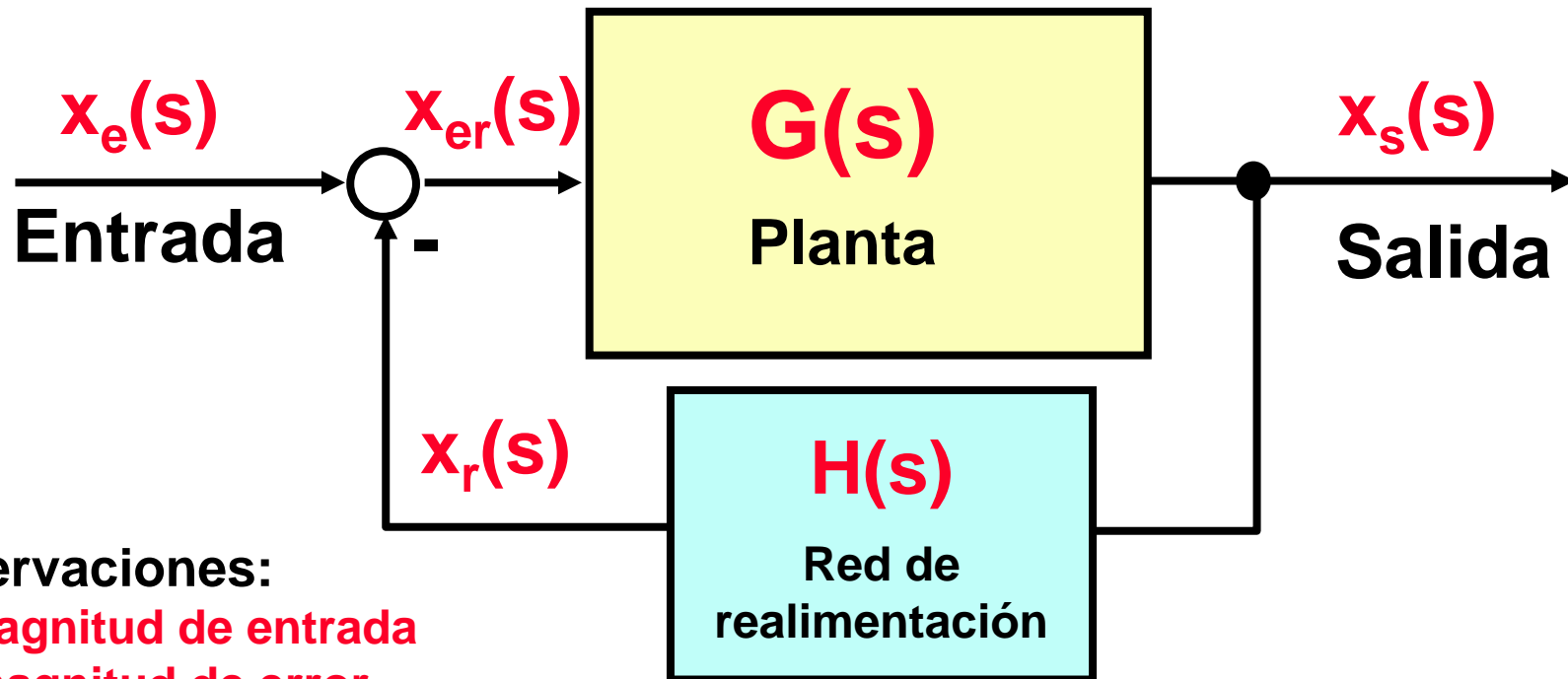
## 2. Osciladores

### Osciladores con elementos discretos



# Teoría básica de sistemas realimentados

- Se linealiza el sistema
- Se toman transformadas de Laplace



## Observaciones:

$x_e$ : magnitud de entrada

$x_{er}$ : magnitud de error

$x_r$ : magnitud realimentada

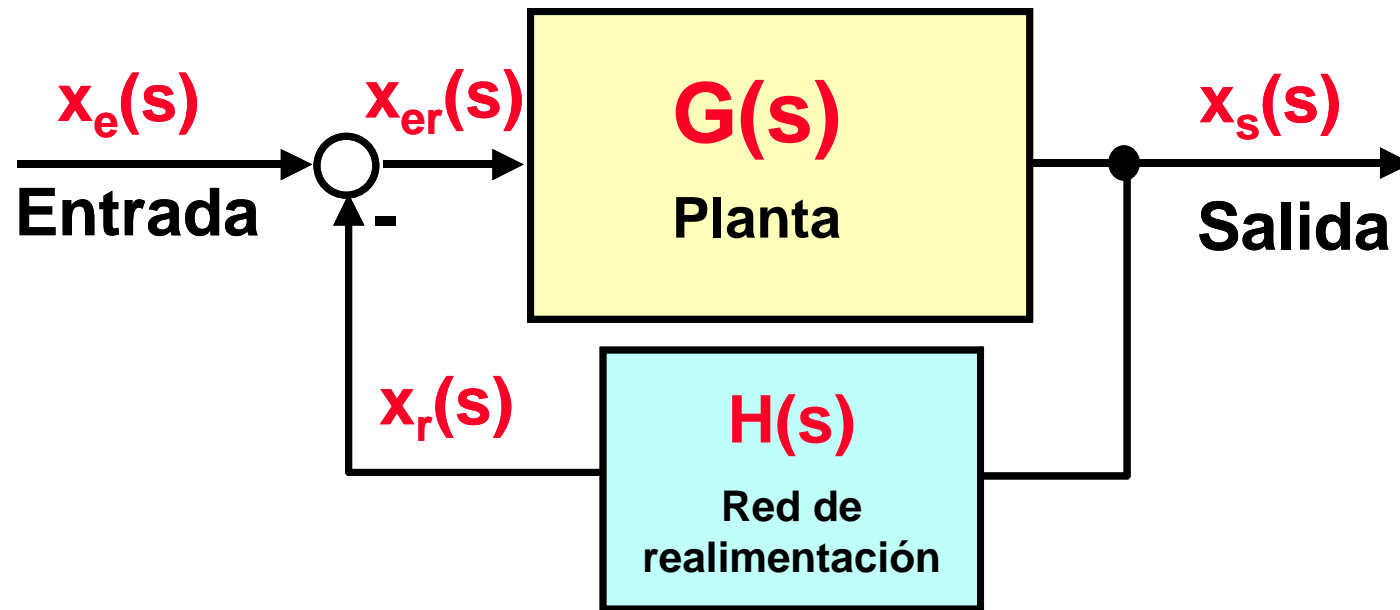
$x_s$ : señal de salida

$x_x$ : magnitudes que pueden ser de distinto tipo

$G(s)$ : función de transferencia de la planta

$H(s)$ : función de transferencia de la red de realimentación

## Cálculo de funciones de transferencia



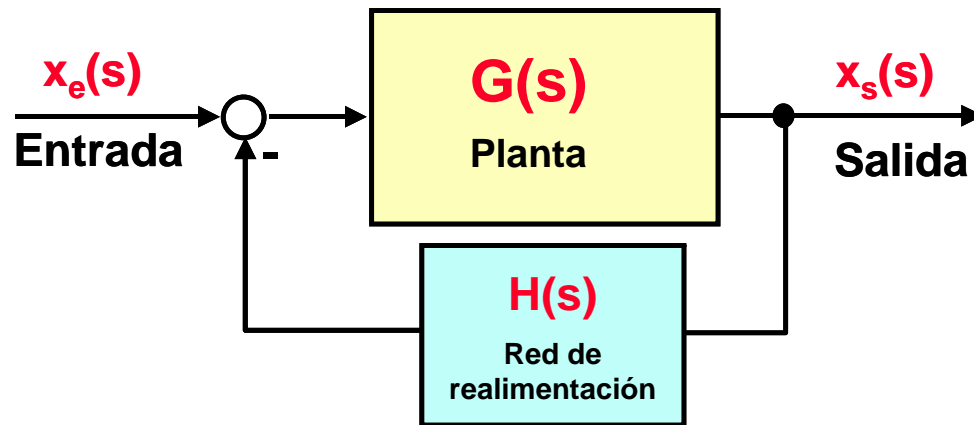
**Lazo abierto**

$$G(s) = \frac{x_s(s)}{x_{er}(s)}$$

**Lazo cerrado**

$$\frac{x_s(s)}{x_e(s)} = \frac{G(s)}{1 + G(s) \cdot H(s)}$$

## Casos particulares



$$\frac{x_s(s)}{x_e(s)} = \frac{G(s)}{1 + G(s) \cdot H(s)}$$

Realimentación negativa  $\rightarrow |1 + G(s) \cdot H(s)| > 1$

Alta ganancia de lazo  $\rightarrow x_s(s)/x_e(s) = 1/H(s)$

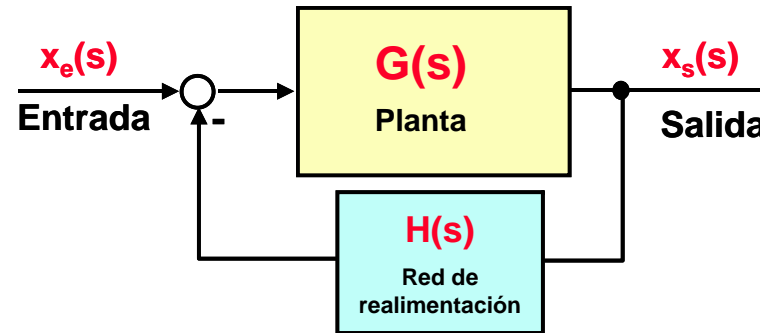
Realimentación positiva  $\rightarrow |1 + G(s) \cdot H(s)| < 1$

Oscilación  $\rightarrow |1 + G(s) \cdot H(s)| = 0$

Situación indeseada en servosistemas  
Situación deseada en osciladores

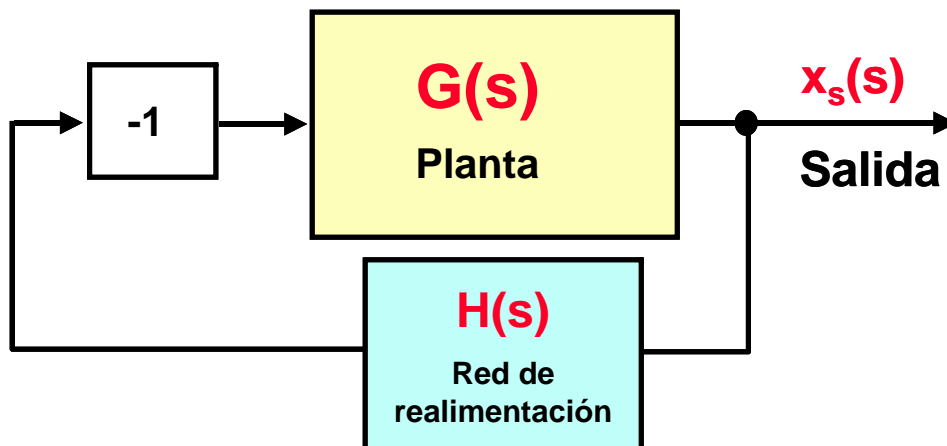
## Caso de oscilación

$$\frac{x_s(s)}{x_e(s)} = \frac{G(s)}{1 + G(s) \cdot H(s)}$$



$$|1 + G(s) \cdot H(s)| = 0 \Rightarrow x_s(s)/x_e(s) \rightarrow \infty$$

Se genera  $X_s$  aunque no haya  $X_e$



Cuando está oscilando:

$$|G(s) \cdot H(s)| = 1$$

$$\angle G(s) \cdot H(s) = 180^\circ$$

Por tanto:

$$|G(j\omega_{osc}) \cdot H(j\omega_{osc})| = 1$$

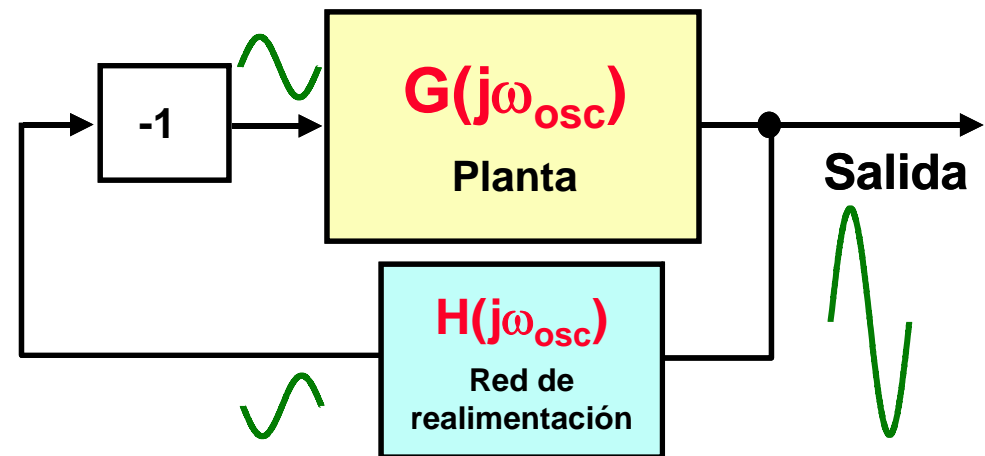
$$\angle G(j\omega_{osc}) \cdot H(j\omega_{osc}) = 180^\circ$$

## Condición de oscilación (I)

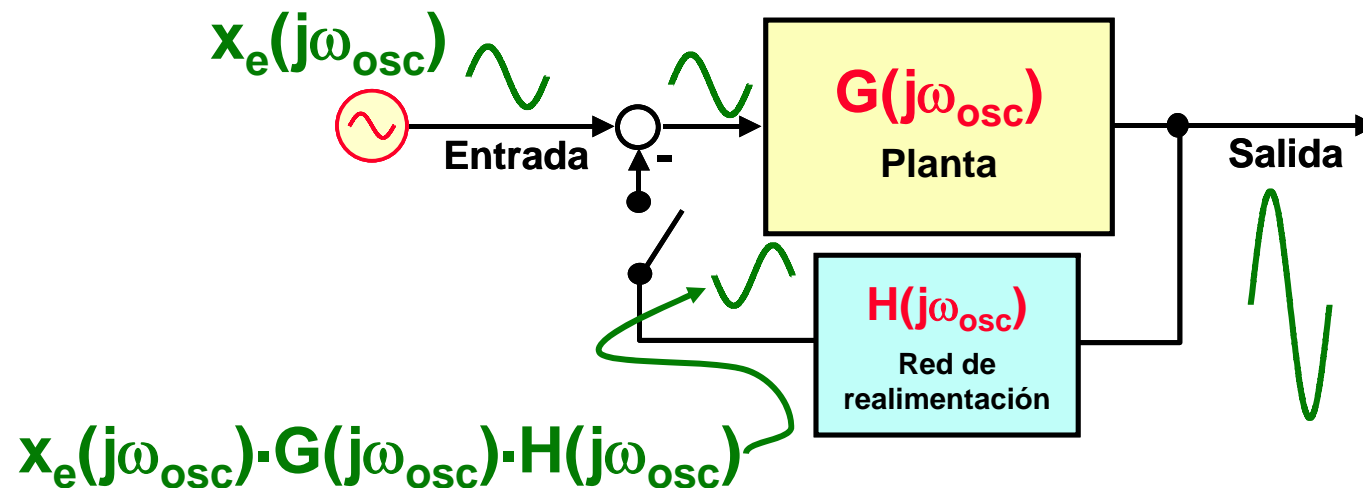
En oscilación:

$$|G(j\omega_{osc}) \cdot H(j\omega_{osc})| = 1$$

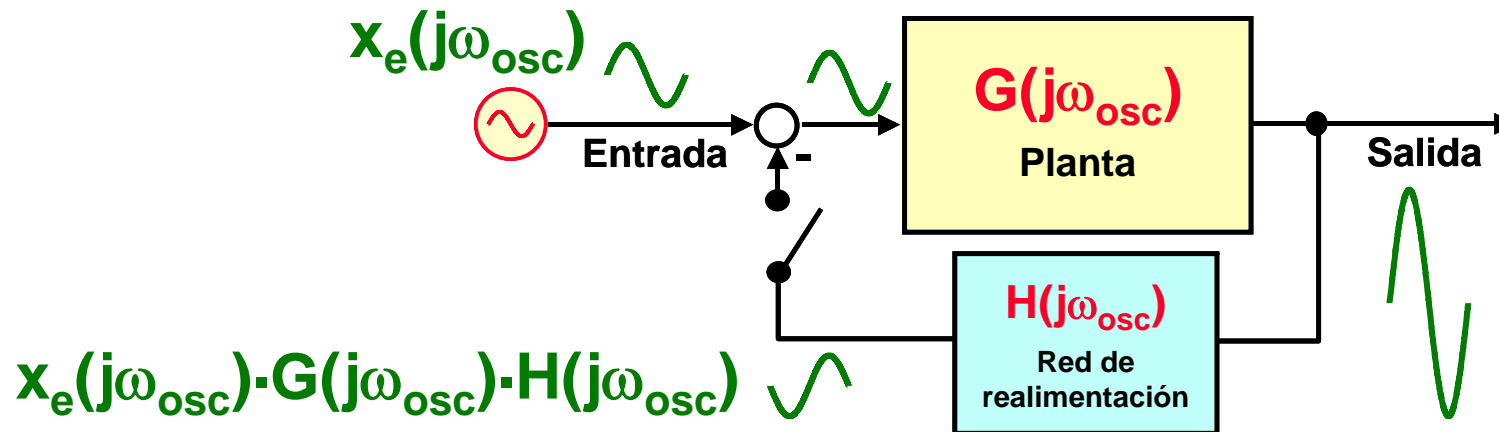
$$\angle G(j\omega_{osc}) \cdot H(j\omega_{osc}) = 180^\circ$$



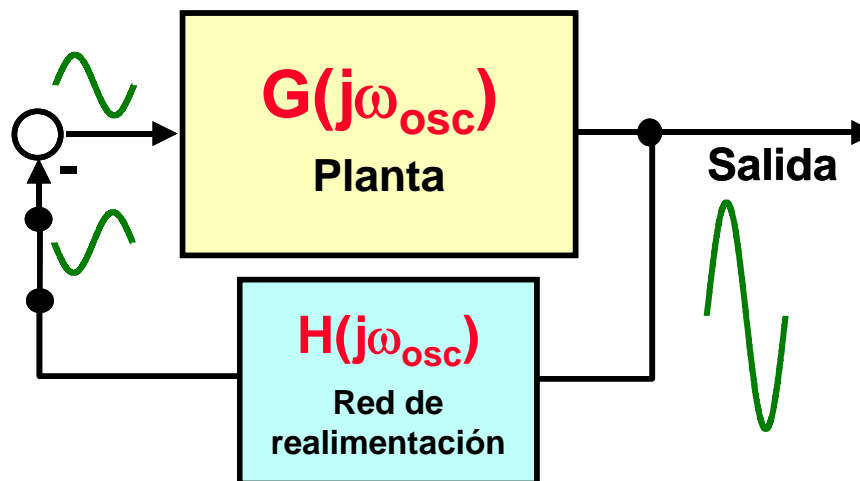
¿Qué tiene que suceder para que comience la oscilación?



## Condición de oscilación (II)



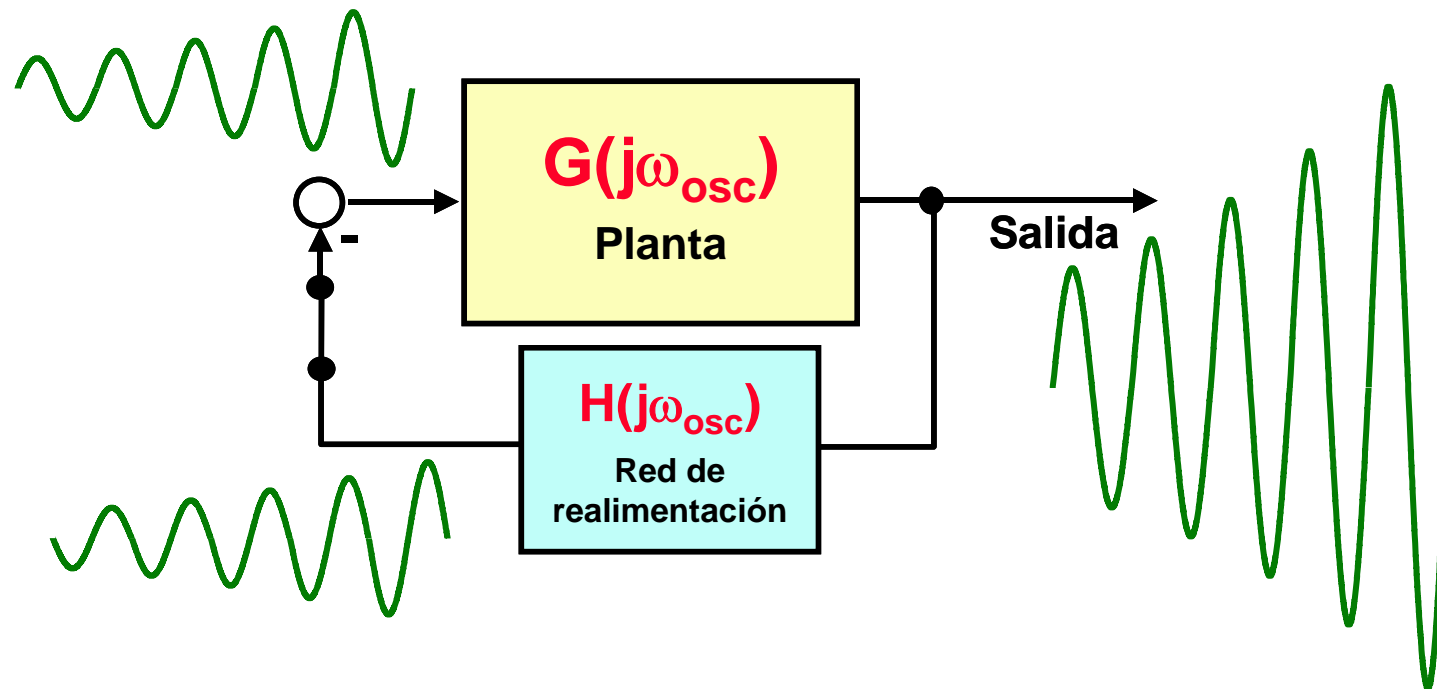
Si  $|x_e(j\omega_{osc}) \cdot G(j\omega_{osc}) \cdot H(j\omega_{osc})| > |x_e(j\omega_{osc})|$  (es decir,  $|G(j\omega_{osc}) \cdot H(j\omega_{osc})| > 1$ ) cuando el desfase es  $180^\circ$ , entonces podemos hacer que la salida del lazo de realimentación haga las funciones de la magnitud de entrada.





## Condición de oscilación (III)

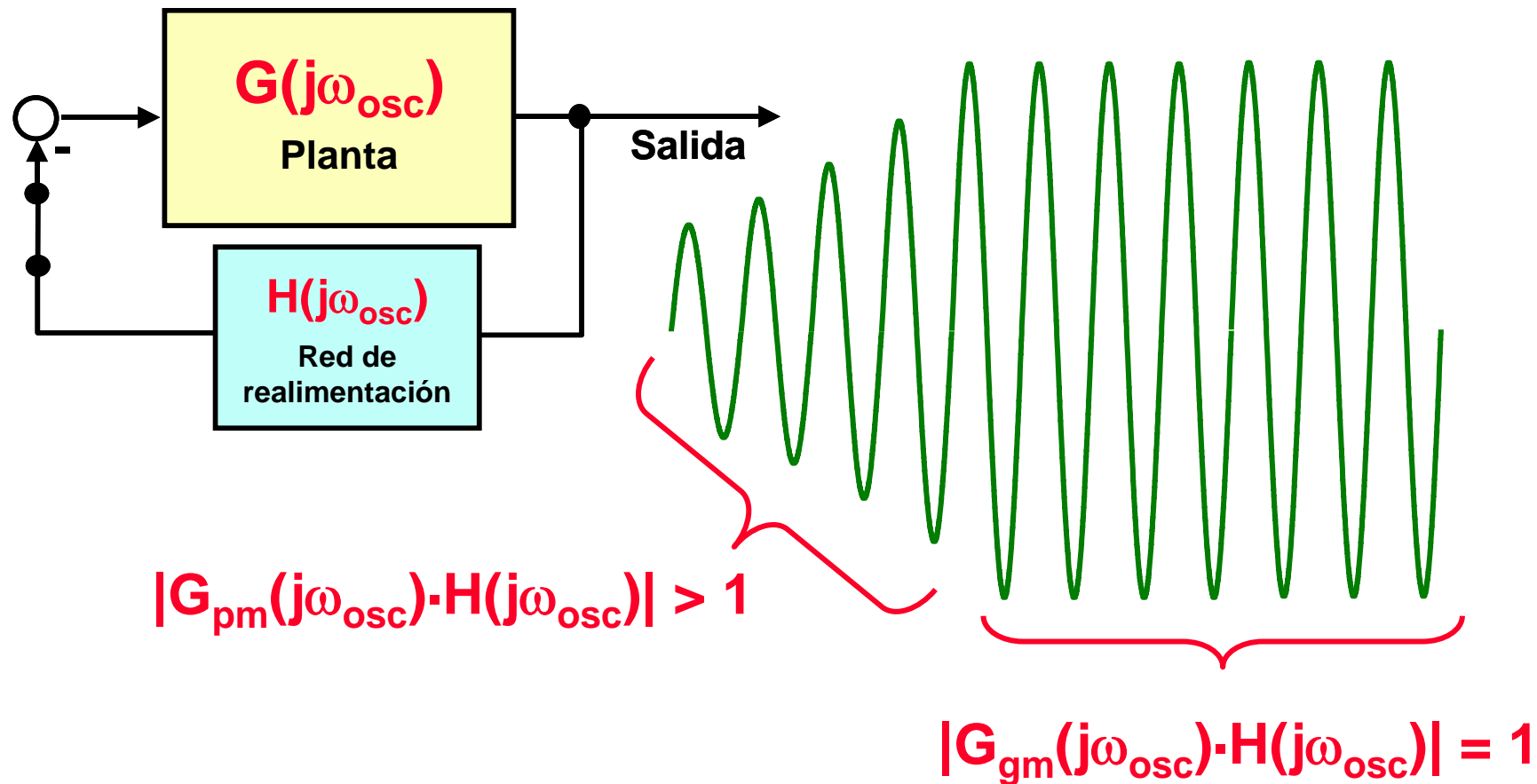
En realidad si  $|G(j\omega_{osc}) \cdot H(j\omega_{osc})| > 1$  cuando el desfase es  $180^\circ$ , las magnitudes empezarán a crecer constantemente



**¿Existe un límite a este crecimiento?**

Evidentemente sí, por razones energéticas hay límites. Incluso el sistema podría destruirse al crecer la magnitud de salida.

## Condición de oscilación (IV)

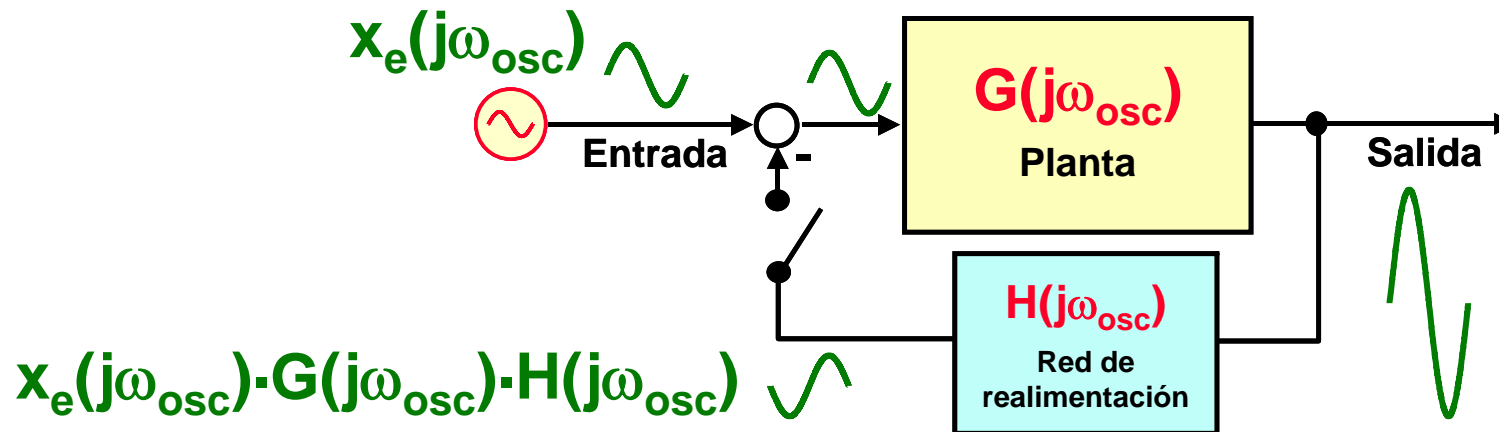


### Observaciones:

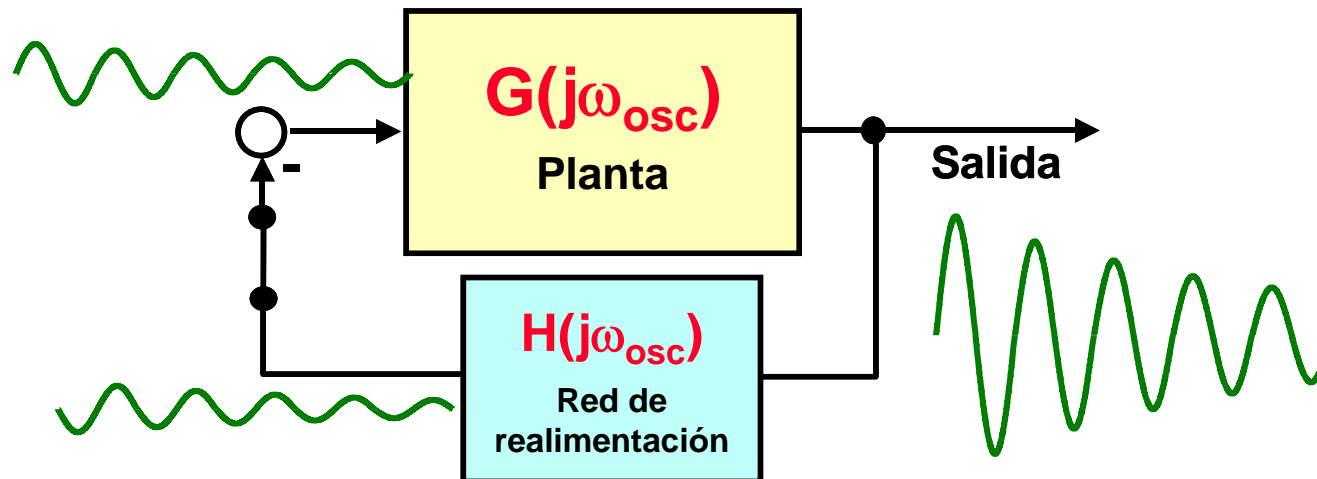
$G_{pm}(s)$ : función de transferencia de pequeña magnitud

$G_{gm}(s)$ : función de transferencia de gran magnitud

## Condición de oscilación (V)

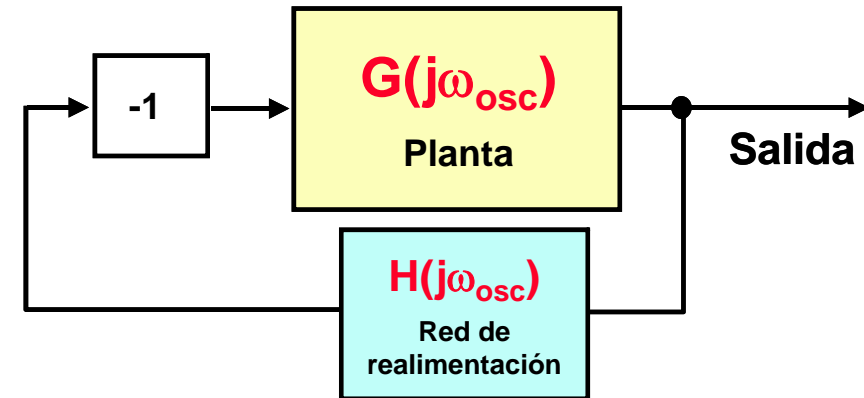


Si  $|G(j\omega_{osc}) \cdot H(j\omega_{osc})| < 1$  cuando el desfase es  $180^\circ$ , entonces la oscilación se extinguirá



## Condición de oscilación (VI)

Formulación formal:  
Criterio de Nyquist



➤ Para que empiece la oscilación:

- Tiene que existir una  $\omega_{osc}$  a la que se se cumpla

$$\underline{G(j\omega_{osc}) \cdot H(j\omega_{osc}) = 180^\circ}$$

- A esa  $\omega_{osc}$  tiene que cumplirse  $|G(j\omega_{osc}) \cdot H(j\omega_{osc})| > 1$

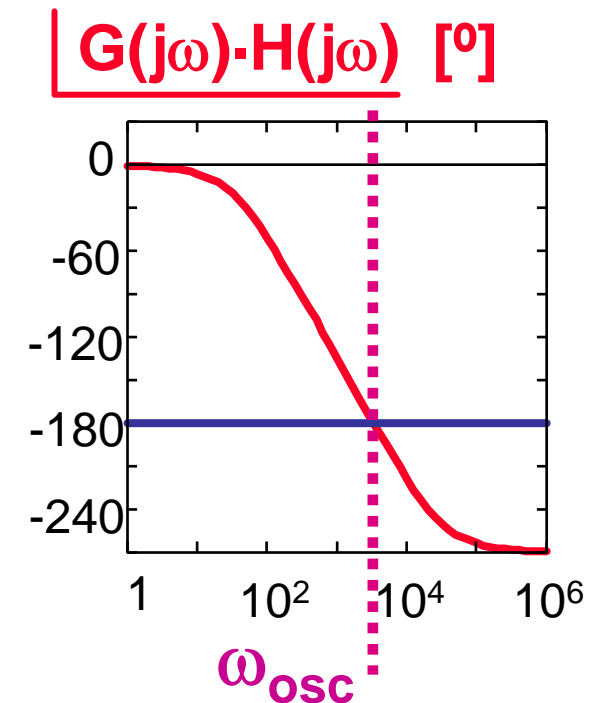
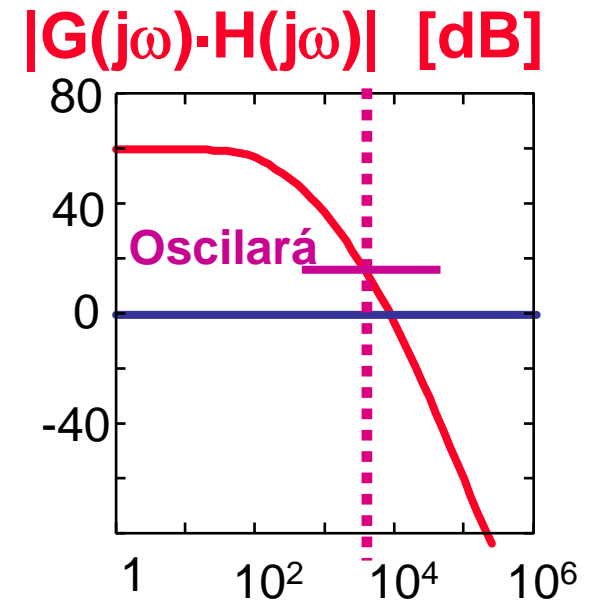
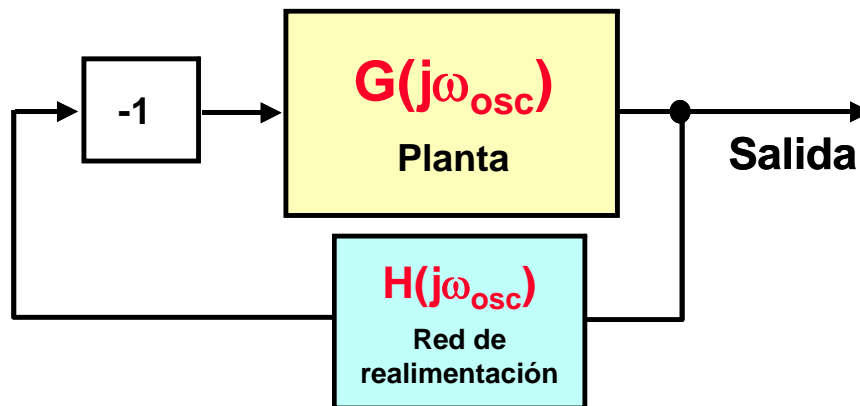
➤ Cuando se estabiliza la oscilación:

- Disminuye la  $G(j\omega_{osc})$  hasta que  $|G(j\omega_{osc}) \cdot H(j\omega_{osc})| = 1$   
cuando  $\underline{G(j\omega_{osc}) \cdot H(j\omega_{osc}) = 180^\circ}$

## Condición de oscilación (VII)

### Interpretación con Diagramas de Bode

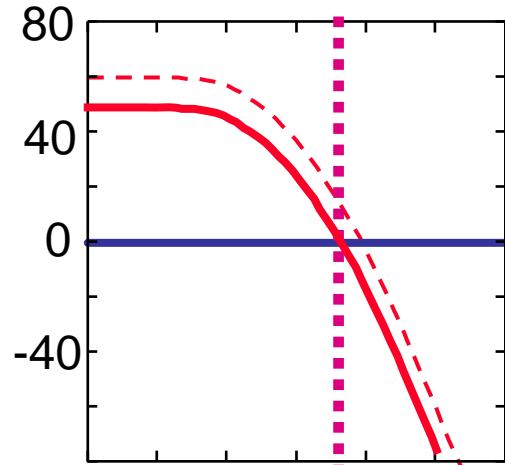
➤ Para que empiece la oscilación.



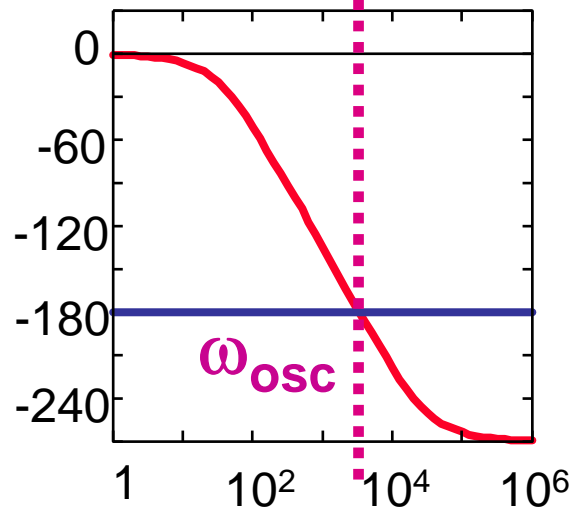
## Condición de oscilación (VIII)

➤ Cuando ya oscila.

$|G(j\omega) \cdot H(j\omega)|$  [dB]

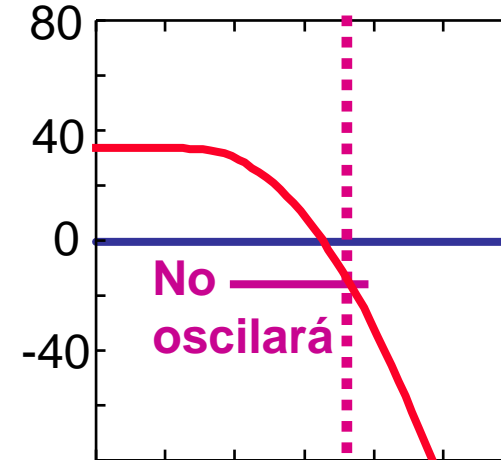


$\angle G(j\omega) \cdot H(j\omega)$  [°]

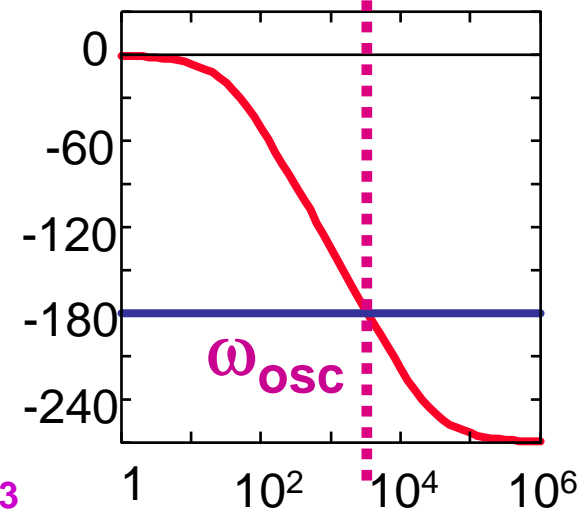


➤ Para que no oscile.

$|G(j\omega) \cdot H(j\omega)|$  [dB]

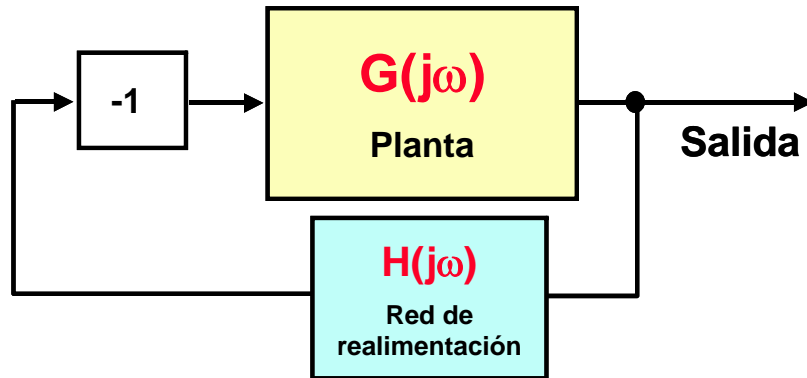


$\angle G(j\omega) \cdot H(j\omega)$  [°]

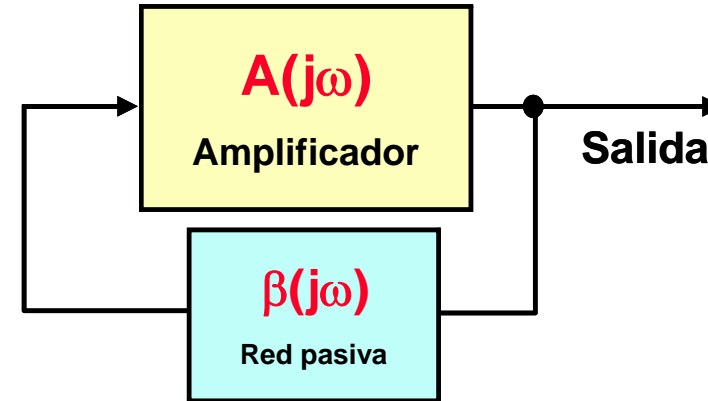


# Condición de oscilación en osciladores

## ➤ Caso general



## ➤ Oscilador



Para que empiece la oscilación:

- Existencia de  $\omega_{osc}$  tal que

$$\angle G(j\omega_{osc}) \cdot H(j\omega_{osc}) = 180^\circ$$

- A  $\omega_{osc}$  se cumple

$$|G(j\omega_{osc}) \cdot H(j\omega_{osc})| > 1$$

- Existencia de  $\omega_{osc}$  tal que

$$\angle A(j\omega_{osc}) \cdot \beta(j\omega_{osc}) = 0^\circ$$

- A  $\omega_{osc}$  se cumple

$$|A(j\omega_{osc}) \cdot \beta(j\omega_{osc})| > 1$$

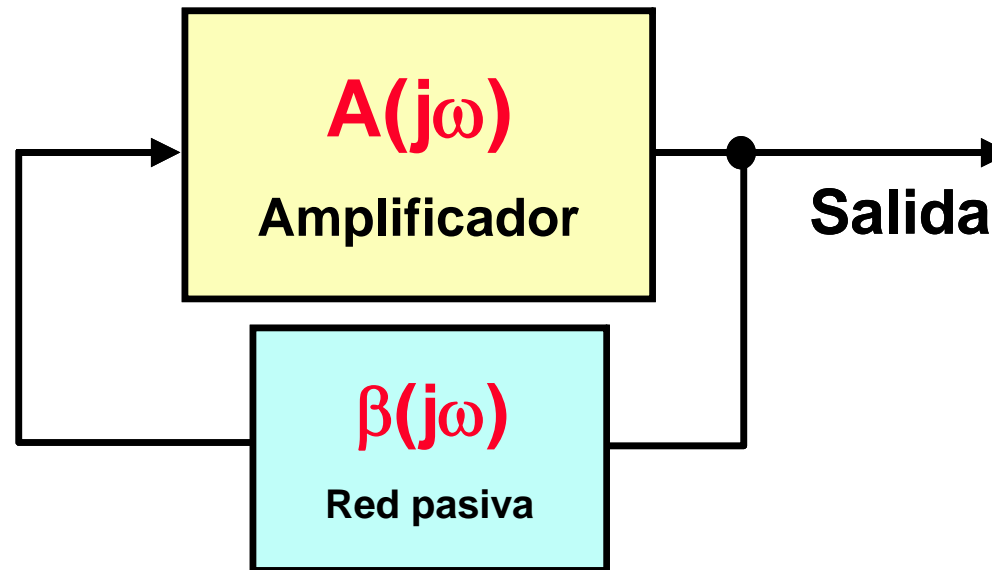
Cuando ya oscila:

$$|G(j\omega_{osc}) \cdot H(j\omega_{osc})| = 1$$

$$|A(j\omega_{osc}) \cdot \beta(j\omega_{osc})| = 1$$

# Tipos de Osciladores

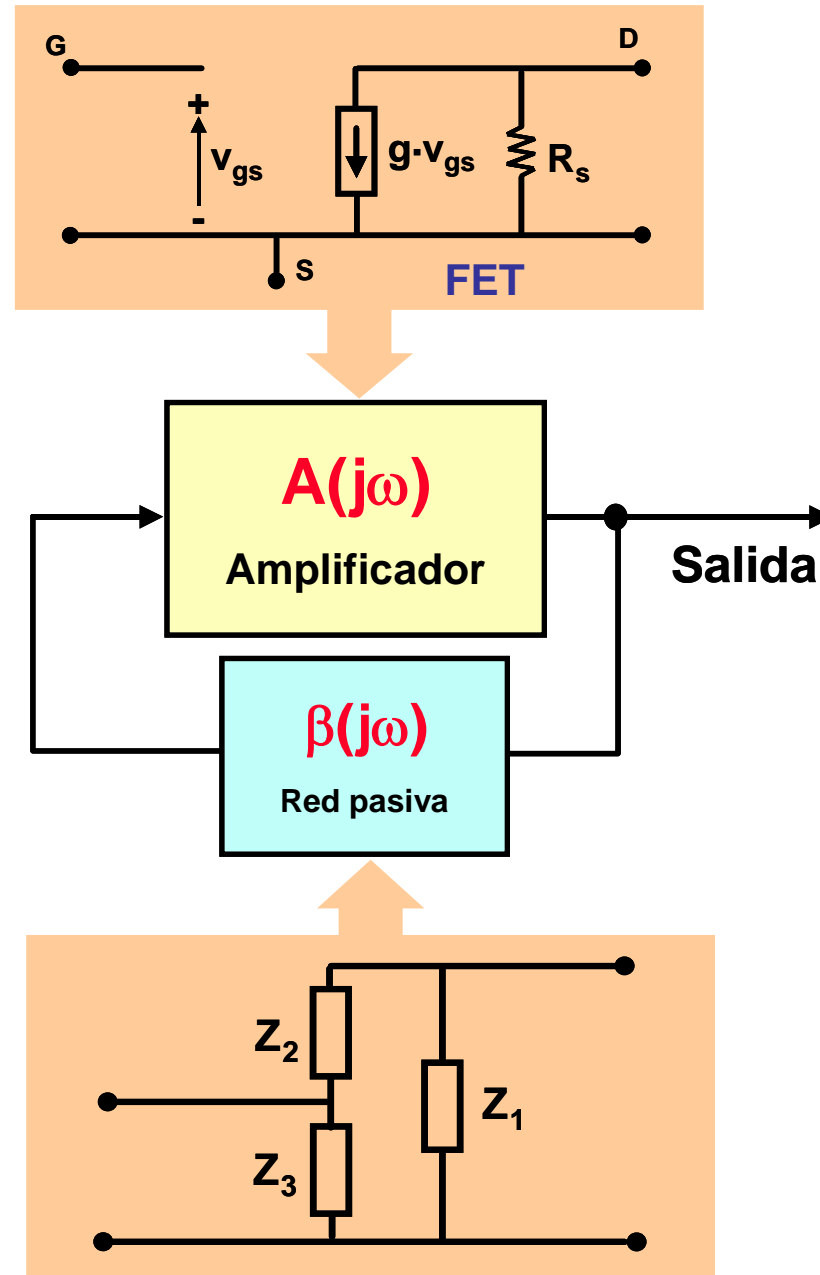
BJT, JFET, MOSFET, Amp. Integrados, etc



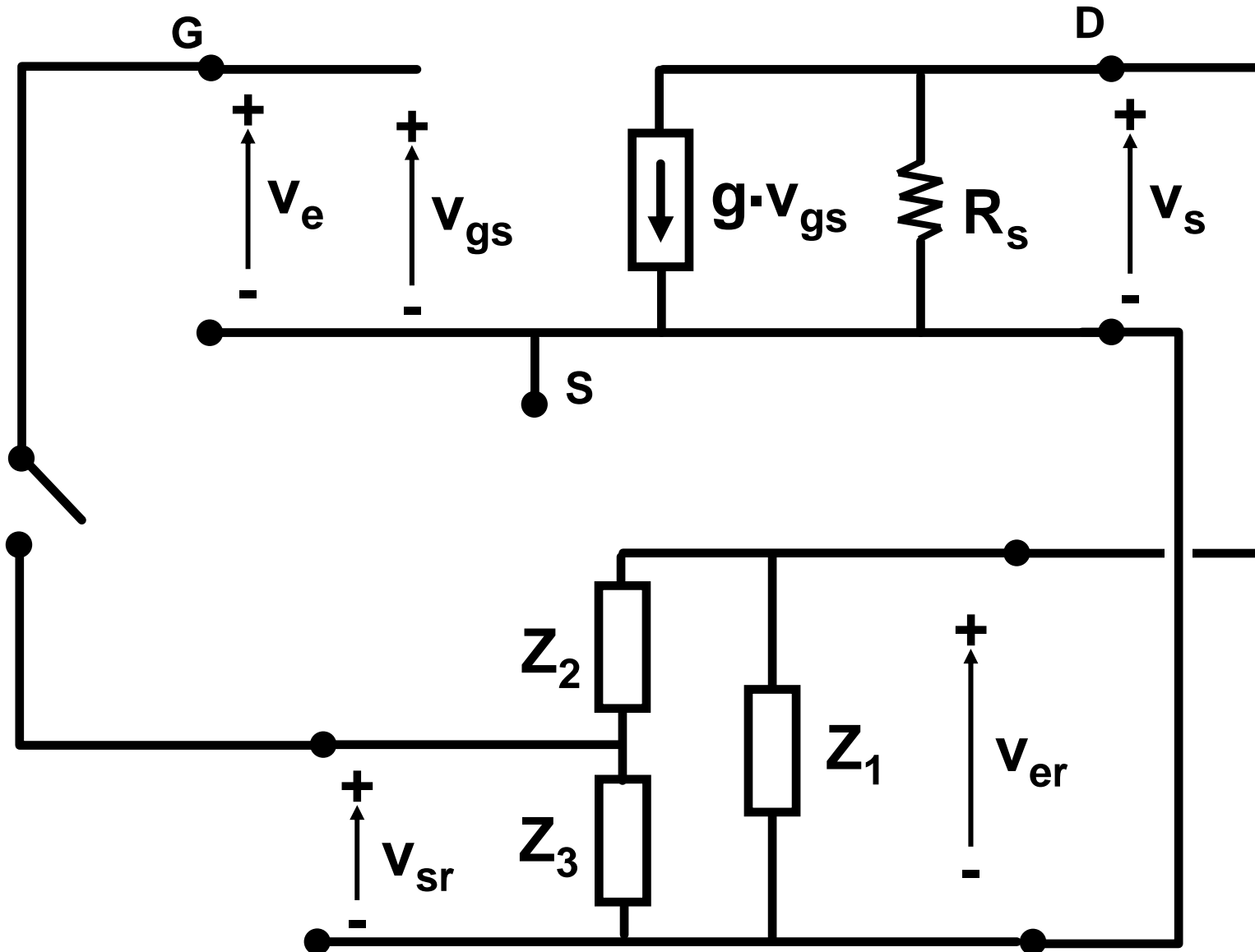
- RC en baja frecuencia.
- LC en alta frecuencia (y variable).
- Dispositivo piezoeléctrico en alta frecuencia (y constante).
- Líneas de transmisión en muy alta frecuencia.



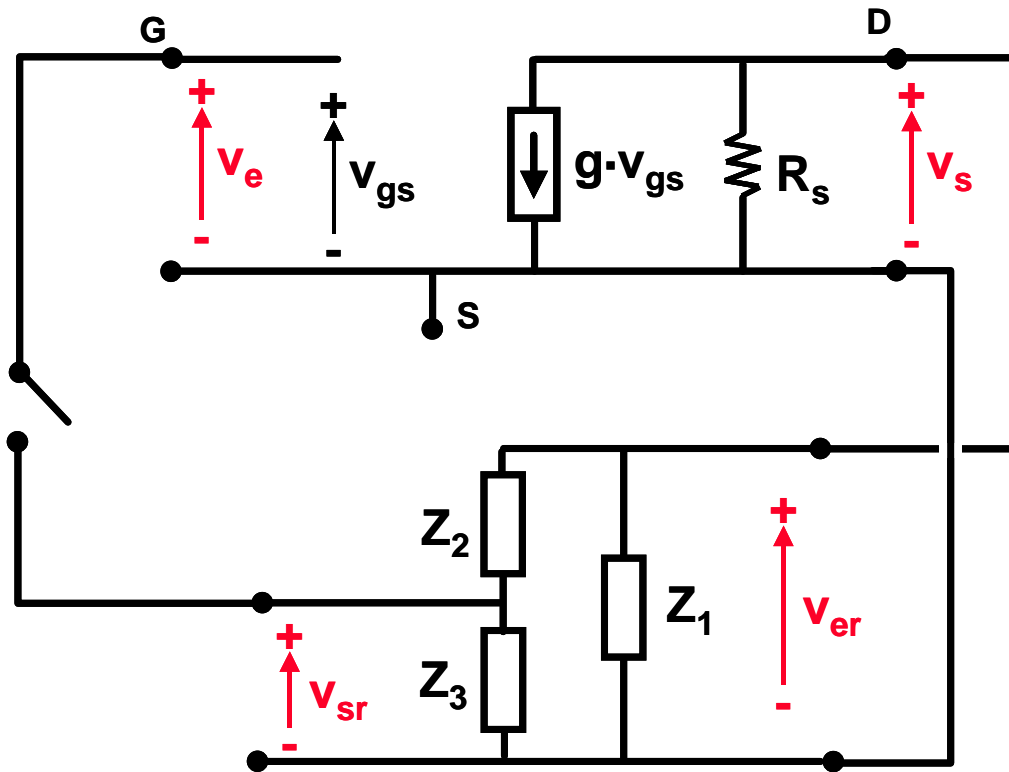
# Osciladores LC con tres elementos reactivos (I)



## Osciladores LC con tres elementos reactivos (II)



## Osciladores LC con tres elementos reactivos (III)



$$V_s = -g \cdot \frac{R_s \cdot \frac{Z_1 \cdot (Z_2 + Z_3)}{Z_1 + Z_2 + Z_3}}{R_s + \frac{Z_1 \cdot (Z_2 + Z_3)}{Z_1 + Z_2 + Z_3}} \cdot V_e$$

$$V_{sr} = \frac{Z_3}{Z_2 + Z_3} \cdot V_{er}$$

$$V_{er} = V_s$$

Por tanto:

$$V_{sr} = -g \cdot \frac{R_s \cdot \frac{Z_1 \cdot Z_3}{Z_1 + Z_2 + Z_3}}{R_s + \frac{Z_1 \cdot (Z_2 + Z_3)}{Z_1 + Z_2 + Z_3}} \cdot V_e$$

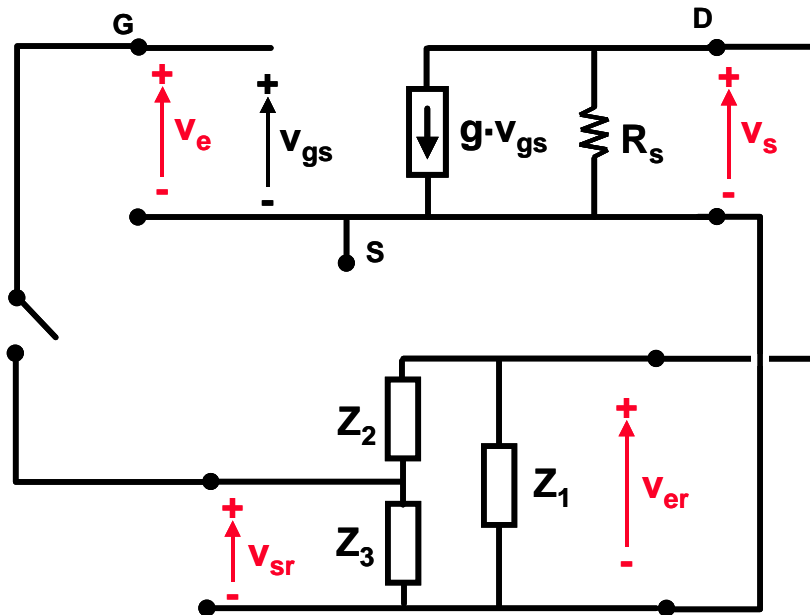
## Osciladores LC con tres elementos reactivos (IV)

De otra forma:

$$V_{sr} = -g \cdot \frac{R_s \cdot Z_1 \cdot Z_3}{R_s \cdot (Z_1 + Z_2 + Z_3) + Z_1 \cdot (Z_2 + Z_3)} \cdot V_e$$

Por tanto:

$$A \cdot \beta = V_{sr} / V_e = -g \cdot \frac{R_s \cdot Z_1 \cdot Z_3}{R_s \cdot (Z_1 + Z_2 + Z_3) + Z_1 \cdot (Z_2 + Z_3)}$$



Puesto que usamos sólo bobinas y condensadores:

$$Z_1 = j \cdot X_1$$

$$Z_2 = j \cdot X_2$$

$$Z_3 = j \cdot X_3$$

Por tanto:

$$A \cdot \beta = -g \cdot \frac{-R_s \cdot X_1 \cdot X_3}{j \cdot R_s \cdot (X_1 + X_2 + X_3) - X_1 \cdot (X_2 + X_3)}$$

## Osciladores LC con tres elementos reactivos (V)

Si el circuito debe oscilar al cerrar el interruptor, debe cumplirse que:

- Existe  $\omega_{osc}$  tal que  $\left| A(j\omega_{osc}) \cdot \beta(j\omega_{osc}) \right| = 0^\circ$  (es decir, **REAL**)
- A  $\omega_{osc}$  se cumple  $|A(j\omega_{osc}) \cdot \beta(j\omega_{osc})| > 1$

Por tanto:

$$A(j\omega_{osc}) \cdot \beta(j\omega_{osc}) = -g \cdot \frac{-R_s \cdot \cancel{X_1} \cdot X_3}{j \cdot R_s \cdot (\cancel{X_1} + \cancel{X_2} + X_3) - \cancel{X_1} \cdot (X_2 + X_3)}$$

$= 0$

Como:  $X_1(\omega_{osc}) + X_2(\omega_{osc}) + X_3(\omega_{osc}) = 0$ , los tres elementos reactivos no pueden ser iguales. Tiene que haber dos bobinas y un condensador o dos condensadores y una bobina.

Queda:

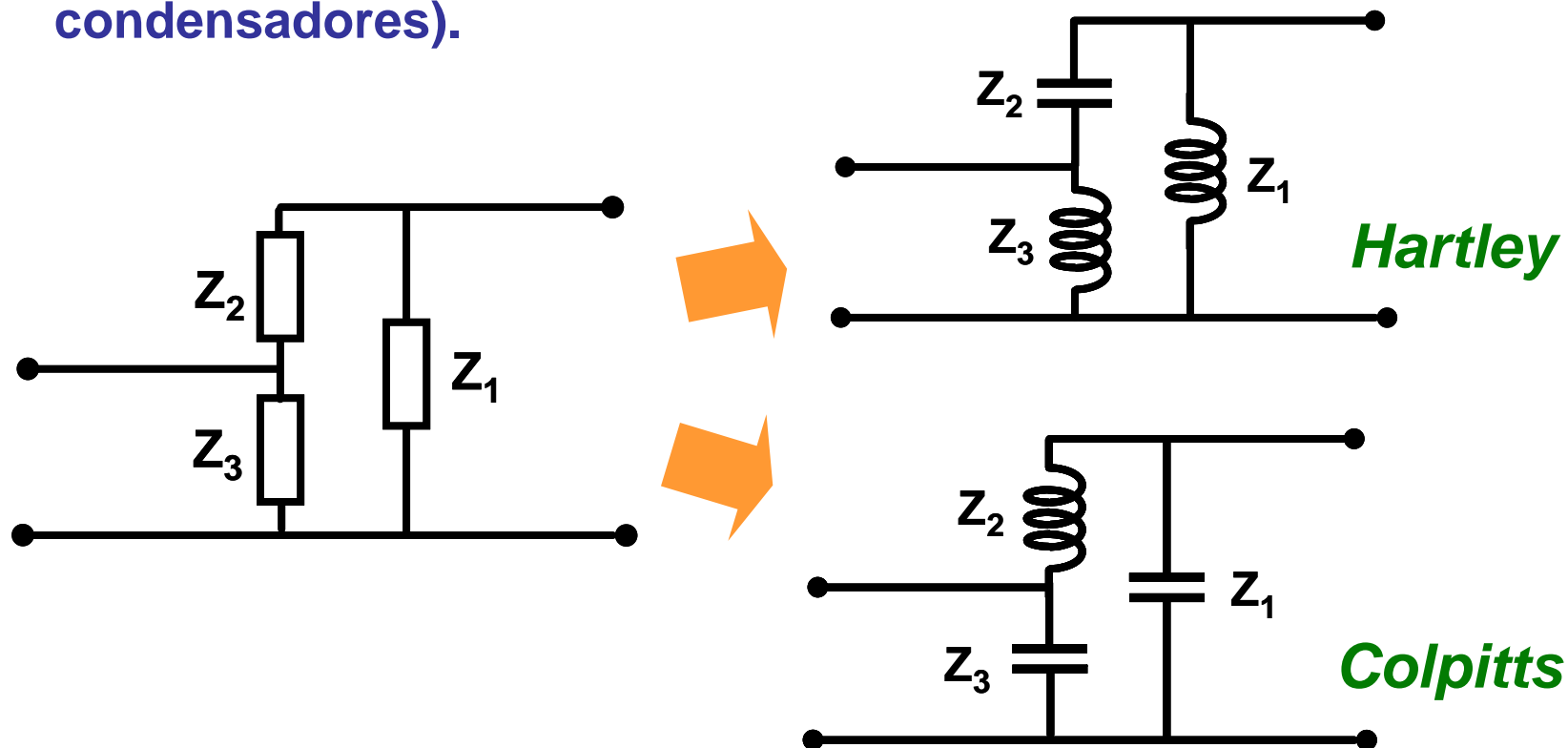
$$A(j\omega_{osc}) \cdot \beta(j\omega_{osc}) = -g \cdot \frac{R_s \cdot X_3(\omega_{osc})}{X_2(\omega_{osc}) + X_3(\omega_{osc})}$$

Y como:  $X_2(\omega_{osc}) + X_3(\omega_{osc}) = -X_1(\omega_{osc})$ ,

## Osciladores LC con tres elementos reactivos (VI)

queda:  $A(j\omega_{osc}) \cdot \beta(j\omega_{osc}) = g \cdot \frac{R_s \cdot X_3(\omega_{osc})}{X_1(\omega_{osc})}$

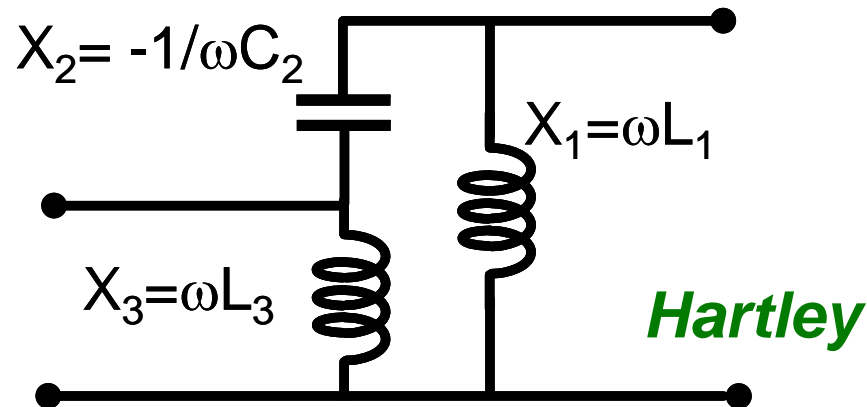
Como:  $\angle A(j\omega_{osc}) \cdot \beta(j\omega_{osc}) = 0^\circ$  (es decir, **POSITIVO**),  $X_3$  y  $X_1$  deben ser del mismo tipo (los dos elementos bobinas o los dos condensadores).



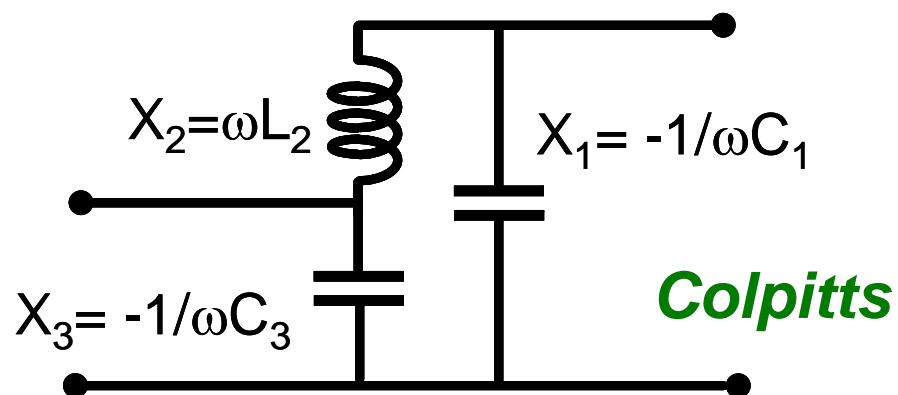
## Osciladores LC con tres elementos reactivos (VII)

Como para que el circuito oscile al cerrar el interruptor debe cumplirse que  $|A(j\omega_{osc}) \cdot \beta(j\omega_{osc})| > 1$ , entonces queda:

$$g \cdot \frac{R_s \cdot X_3(\omega_{osc})}{X_1(\omega_{osc})} > 1$$



$$g \cdot \frac{R_s \cdot L_3}{L_1} > 1$$

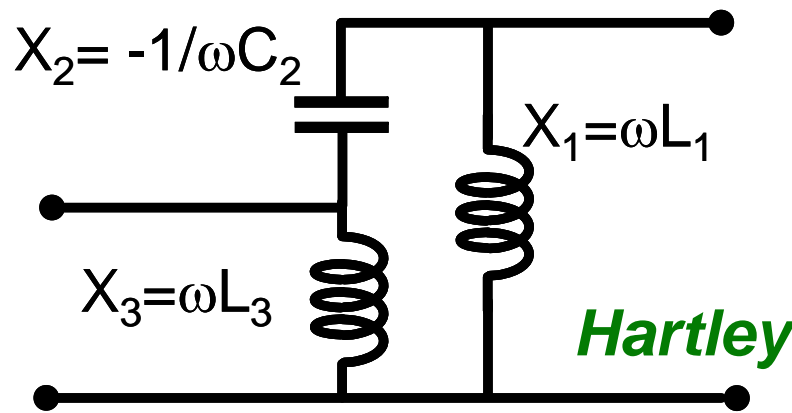


$$g \cdot \frac{R_s \cdot C_1}{C_3} > 1$$

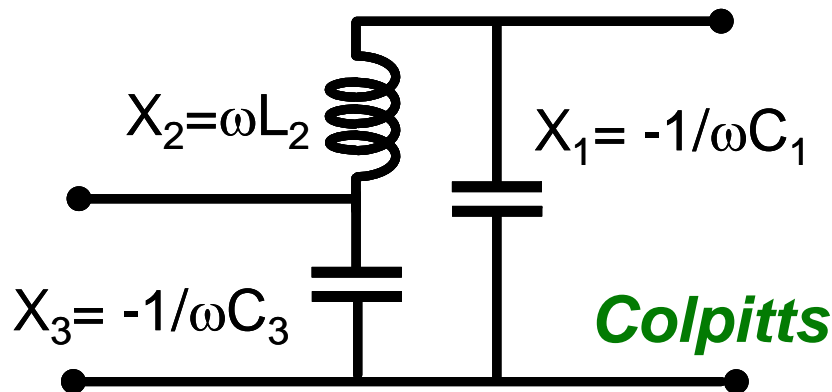
## Osciladores LC con tres elementos reactivos (VIII)

La frecuencia de oscilación se calcula a partir de la condición:

$$X_1(\omega_{\text{osc}}) + X_2(\omega_{\text{osc}}) + X_3(\omega_{\text{osc}}) = 0$$



$$f_{\text{osc}} = \frac{1}{2\pi \sqrt{(L_1 + L_3) C_2}}$$

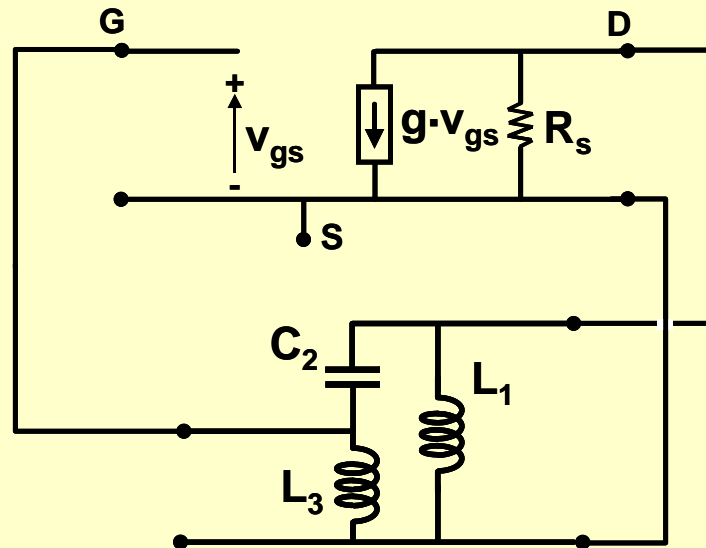


$$f_{\text{osc}} = \frac{1}{2\pi \sqrt{\frac{C_1 \cdot C_3}{C_1 + C_3} \cdot L_2}}$$



# Resumen

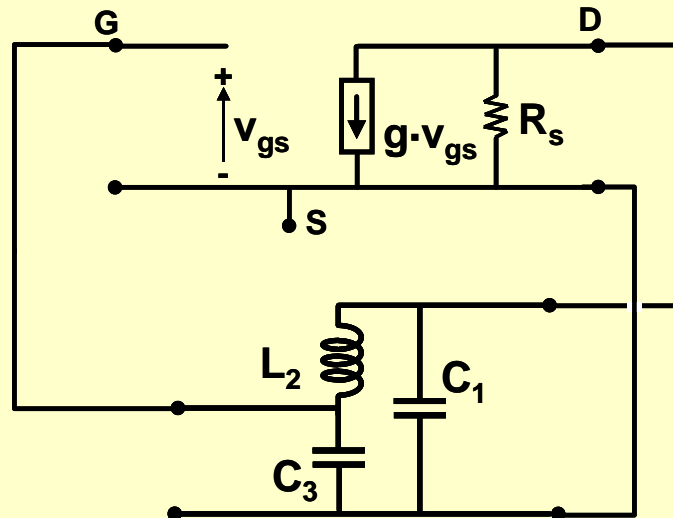
## Hartley



$$g \cdot \frac{R_s \cdot L_3}{L_1} > 1$$

$$f_{\text{osc}} = \frac{1}{2\pi \sqrt{(L_1 + L_3) C_2}}$$

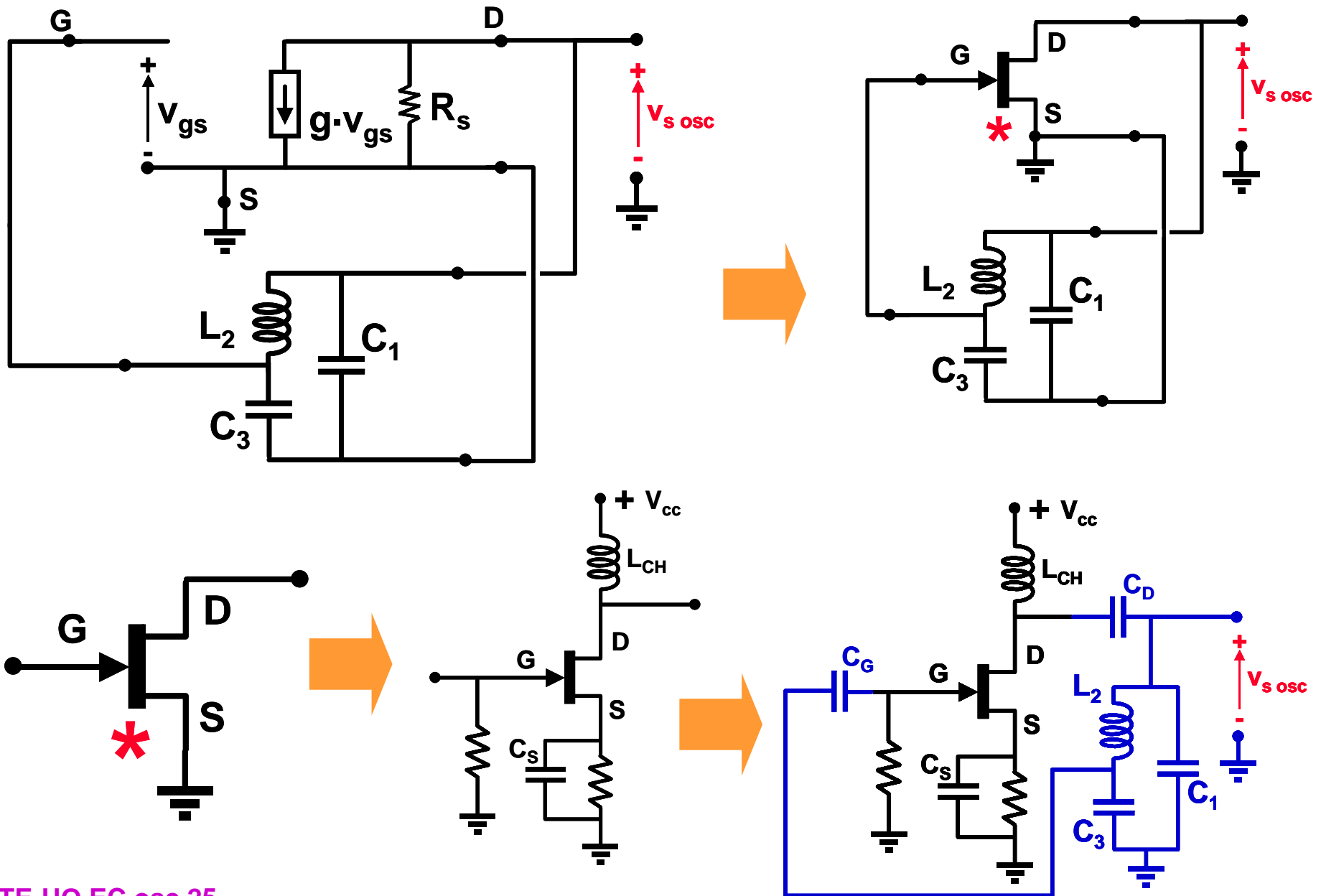
## Colpitts



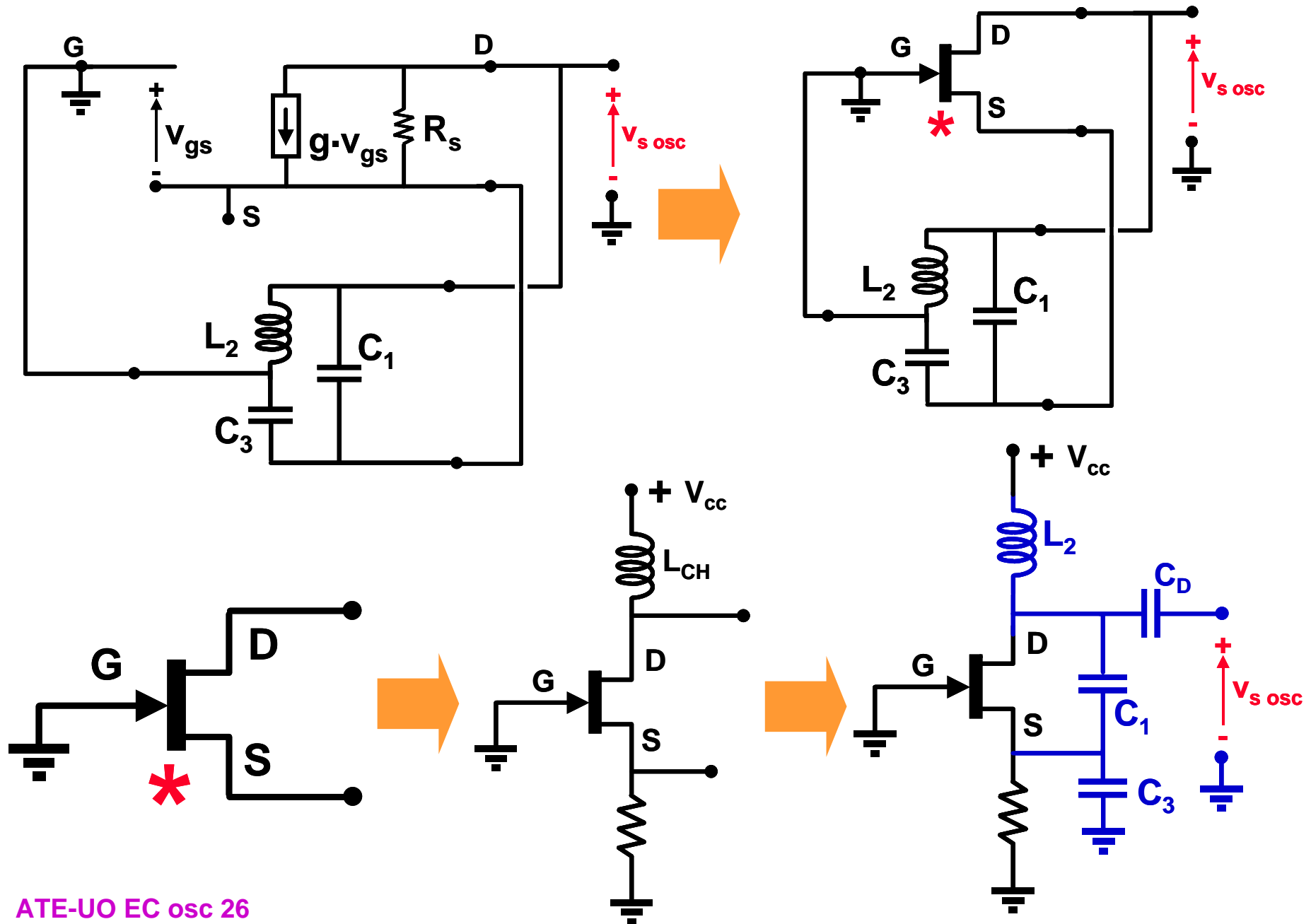
$$g \cdot \frac{R_s \cdot C_1}{C_3} > 1$$

$$f_{\text{osc}} = \frac{1}{2\pi \sqrt{\frac{C_1 \cdot C_3}{C_1 + C_3} \cdot L_2}}$$

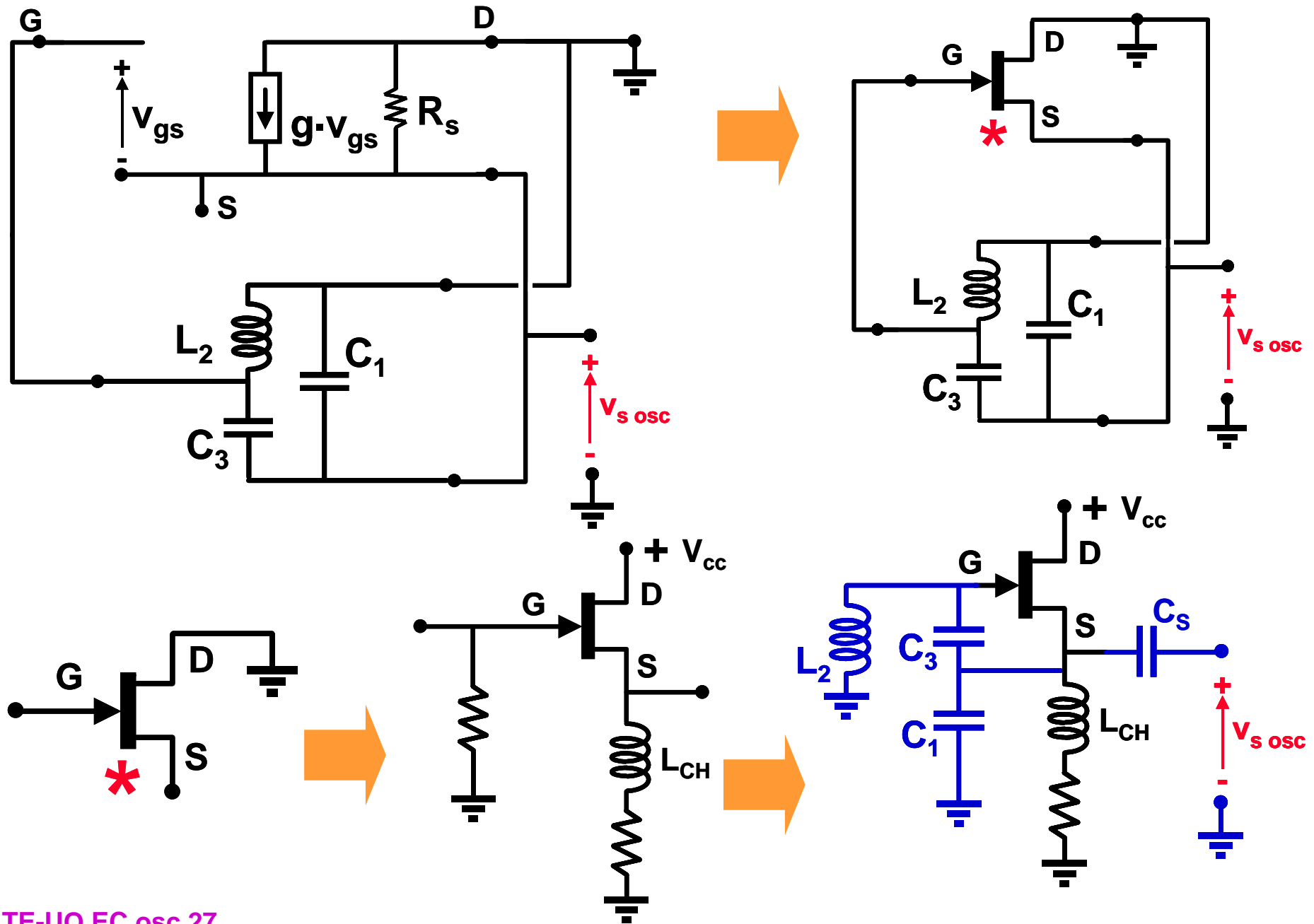
## Realización práctica de un Colpitts en “fuente común”



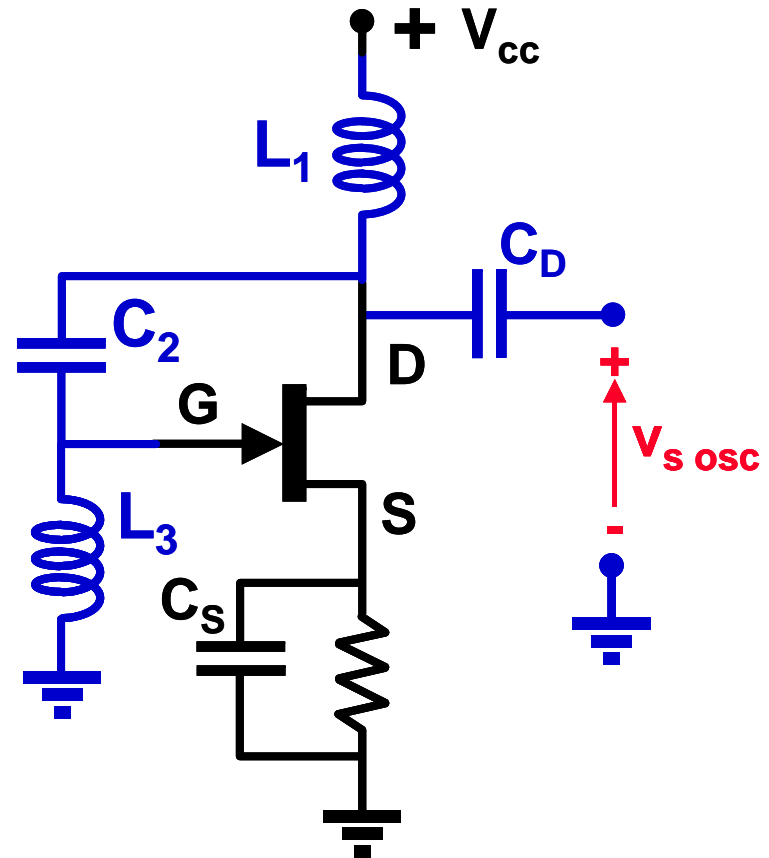
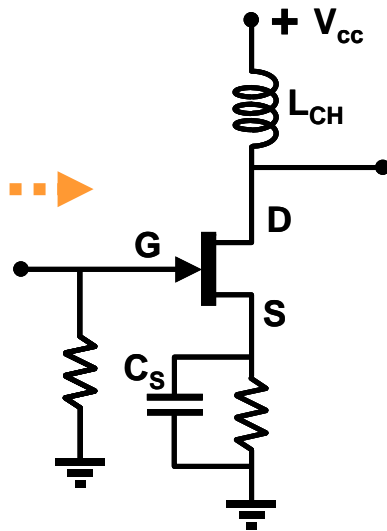
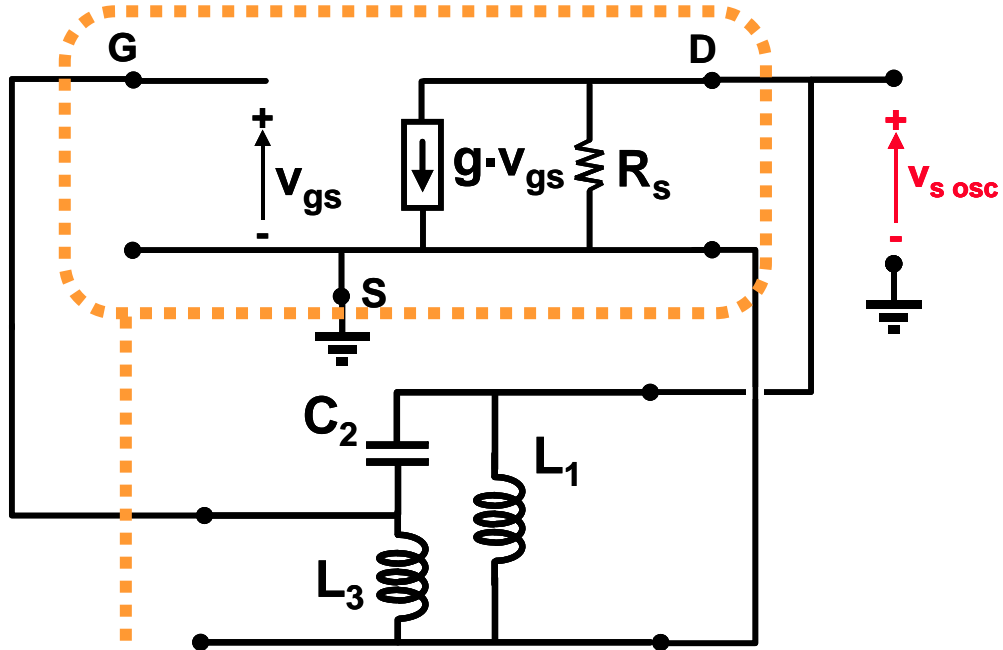
# Realización práctica de un Colpitts en “puerta común”



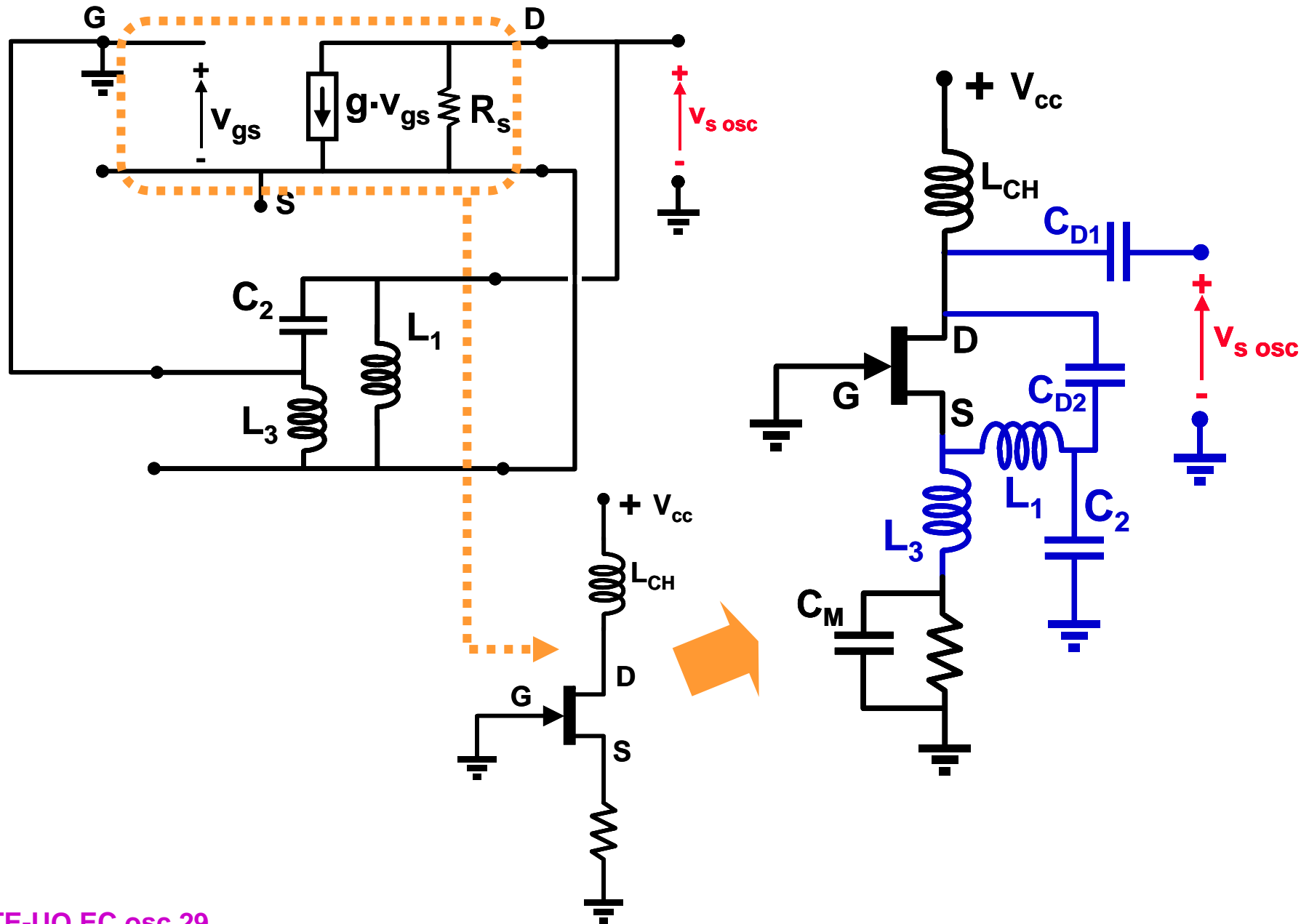
## Realización práctica de un Colpitts en “drenador común”



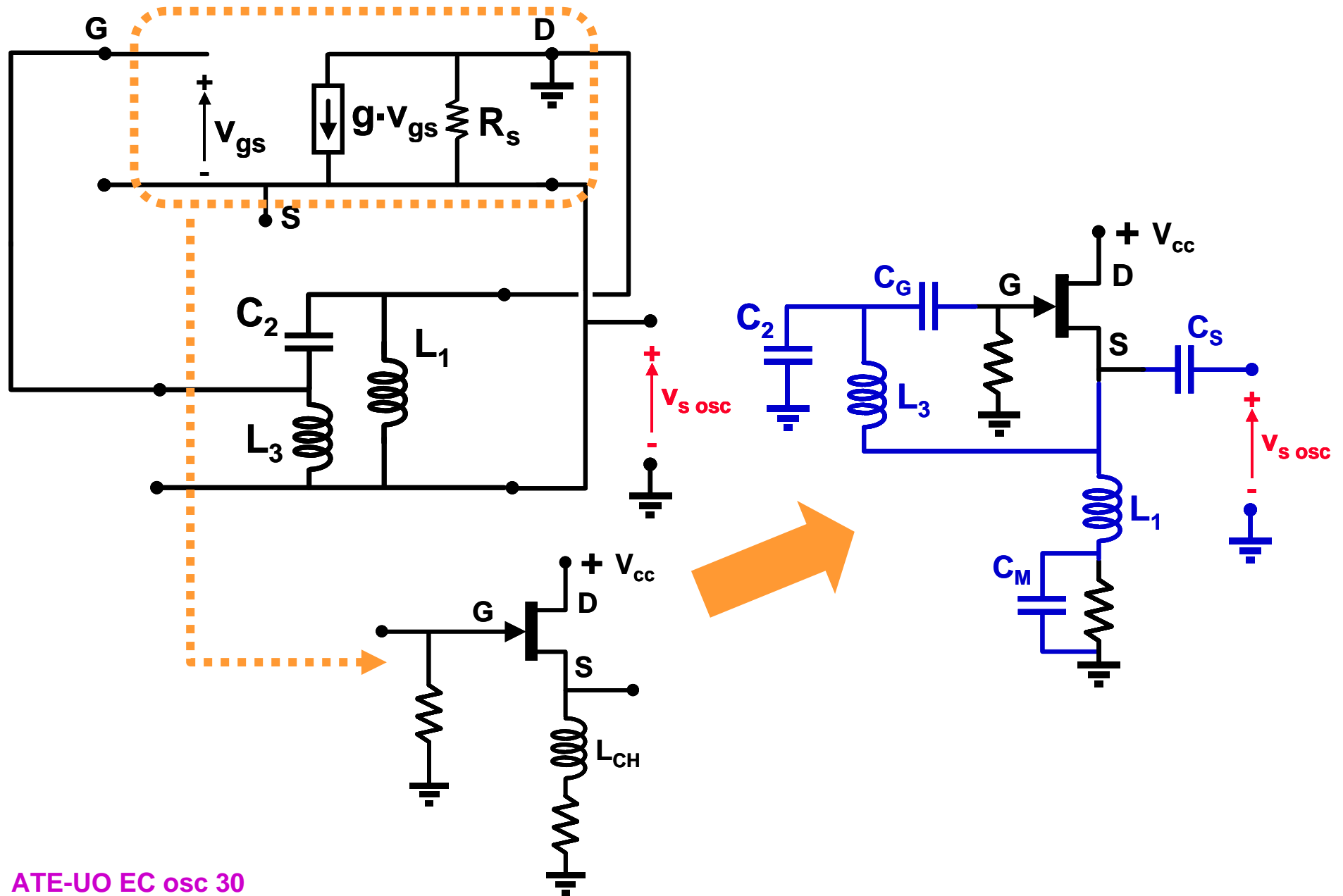
## Realización práctica de un Hartley en “fuente común”



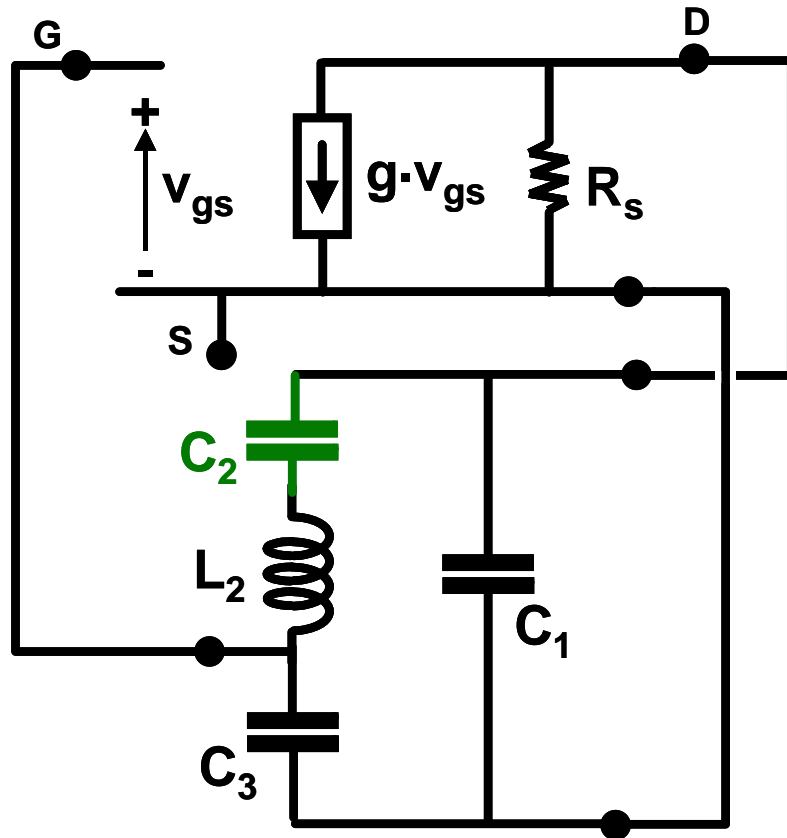
## Realización práctica de un Hartley en “puerta común”



## Realización práctica de un Hartley en “drenador común”



## Osciladores LC con más de tres elementos reactivos: El oscilador de Clapp (I)



Condiciones de oscilación:

$$g \cdot \frac{R_s \cdot C_1}{C_3} > 1$$

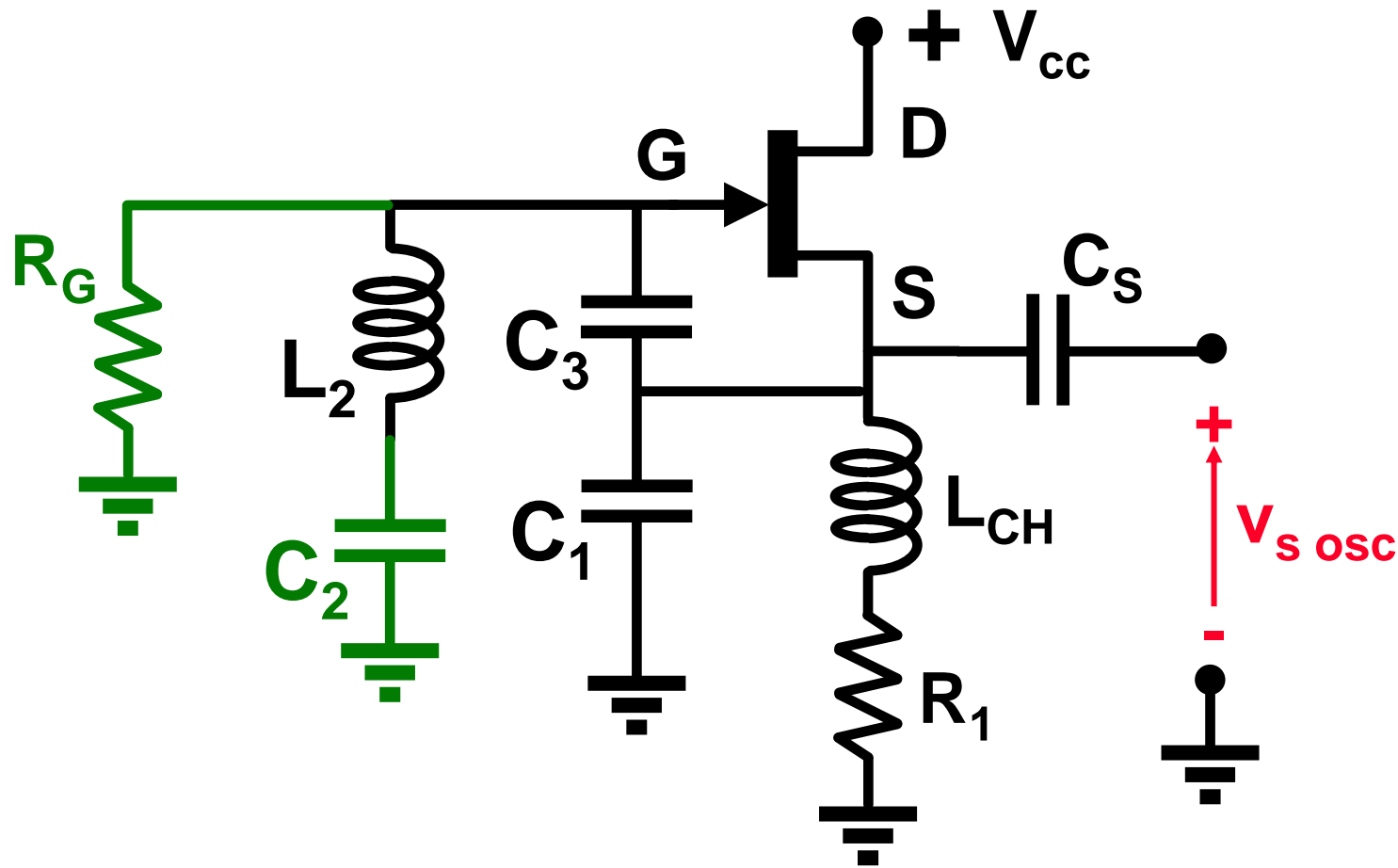
$$f_{\text{osc}} = \frac{1}{2\pi \sqrt{\frac{C_1 \cdot C_2 \cdot C_3}{C_1 \cdot C_2 + C_1 \cdot C_3 + C_2 \cdot C_3} \cdot L_2}}$$

- $C_2$  no influye en la condición  $|A(j\omega_{\text{osc}}) \cdot \beta(j\omega_{\text{osc}})| > 1$
- $C_2$  influye en la frecuencia de oscilación, especialmente si  $C_2 \ll C_1, C_3$
- Especialmente útil para osciladores de frecuencia variable.



# Osciladores LC con más de tres elementos reactivos: El oscilador de Clapp (II)

Realización práctica en “drenador común”



# Osciladores de frecuencia variable (I)

Hay que hacer variar uno de los elementos reactivos de la red de realimentación.

Tipos:

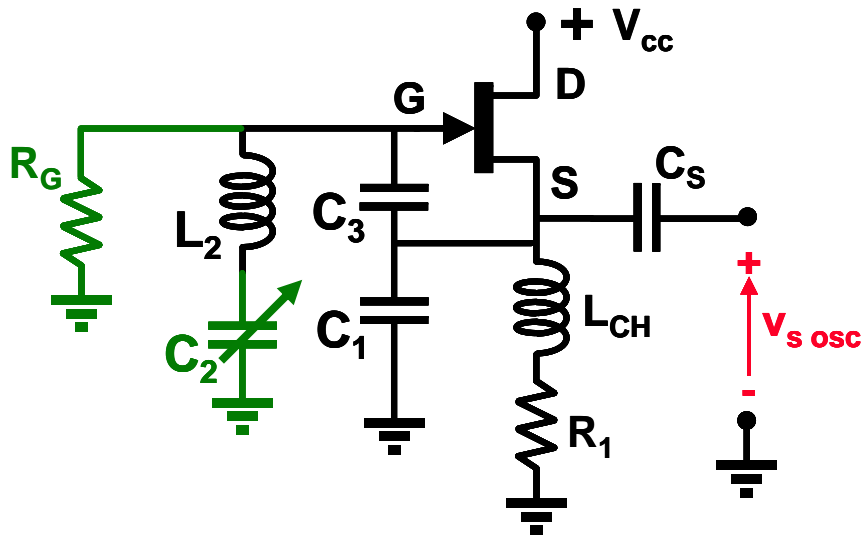
- Con control manual
- Controlado por tensión (*Voltage Controlled Oscillator, VCO*)

## Con control manual de la frecuencia

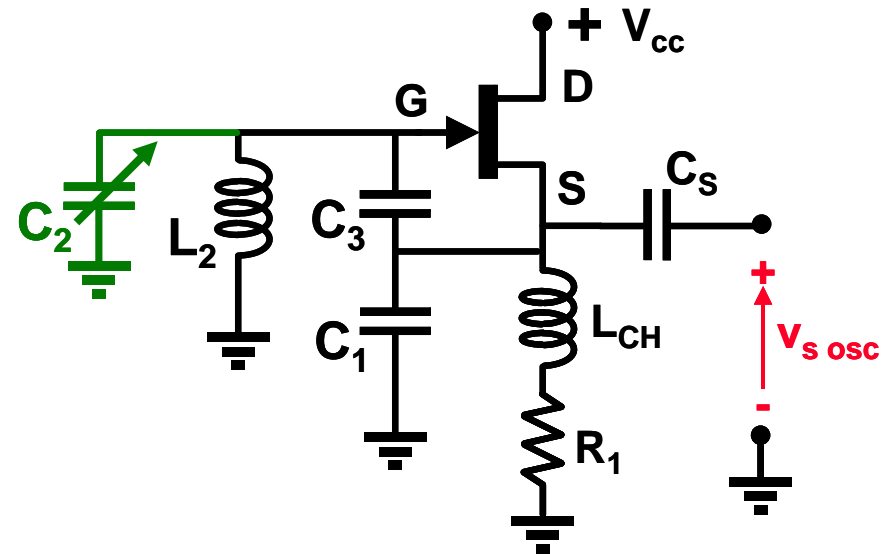
Usando un condensador variable



## Osciladores de frecuencia variable (II)



Clapp (Colpitts sintonizado en serie)  
en “drenador común”



Colpitts sintonizado en paralelo  
en “drenador común”

Condiciones de oscilación:

$$g \cdot \frac{R_s \cdot C_1}{C_3} > 1 \quad (\text{común})$$

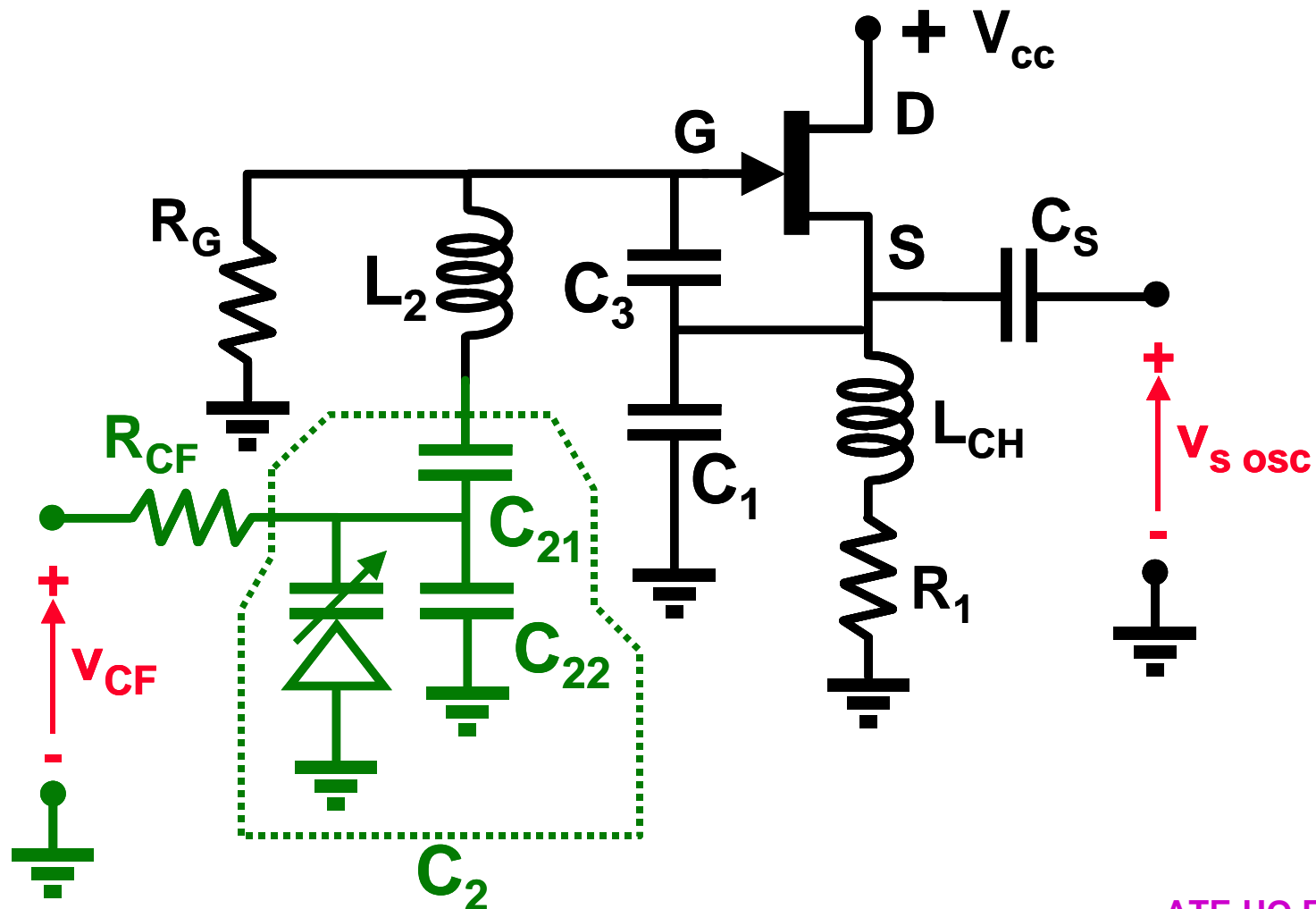
$$f_{\text{osc}} = \frac{1}{2\pi \sqrt{\frac{C_1 \cdot C_2 \cdot C_3}{C_1 \cdot C_2 + C_1 \cdot C_3 + C_2 \cdot C_3} \cdot L_2}}$$

$$f_{\text{osc}} = \frac{1}{2\pi \sqrt{\left(\frac{C_1 \cdot C_3}{C_1 + C_3} + C_2\right) \cdot L_2}}$$

## Osciladores de frecuencia variable (III)

### Osciladores Controlado por Tensión (VCOs)

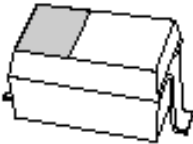
Se basan en el uso de diodos varicap (también llamados “varactores”)



# Hojas de características de un diodo varicap (BB131) (I)

**DISCRETE SEMICONDUCTORS**

## DATA SHEET




### BB131

#### VHF variable capacitance diode

Product specification  
Supersedes data of 1996 May 03

1998 Sep 15



**PHILIPS**

Philips Semiconductors

Product specification

VHF variable capacitance diode

BB131

---

**FEATURES**

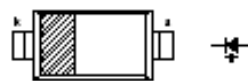
- Excellent linearity
- Very small plastic SMD package
- C2B: 1 pF; ratio: 14.

**APPLICATIONS**

- Electronic tuning in satellite tuners
- Tunable coupling
- VCO.

**DESCRIPTION**

The BB131 is a variable capacitance diode, fabricated in planar technology, and encapsulated in the SOD323 very small plastic SMD package.



Marking code: P1.  
Cathode side indicated by a bar.

Fig. 1 Simplified outline (SOD323) and symbol.

**LIMITING VALUES**  
In accordance with the Absolute Maximum Rating System (IEC 134).

SYMBOL	PARAMETER	MIN.	MAX.	UNIT
$V_R$	continuous reverse voltage	—	30	V
$I_F$	continuous forward current	—	20	mA
$T_{stg}$	storage temperature	-55	+150	°C
$T_J$	operating junction temperature	-55	+125	°C

**ELECTRICAL CHARACTERISTICS**  
 $T_J = 25\text{ °C}$  unless otherwise specified.

SYMBOL	PARAMETER	CONDITIONS	MIN.	MAX.	UNIT
$I_R$	reverse current	$V_R = 30\text{ V}$ ; see Fig. 3	—	10	nA
		$V_R = 30\text{ V}$ ; $T_J = 85\text{ °C}$ ; see Fig. 3	—	200	nA
$r_s$	diode series resistance	$f = 470\text{ MHz}$ ; note 1	—	3	$\Omega$
$C_d$	diode capacitance	$V_R = 0.5\text{ V}$ ; $f = 1\text{ MHz}$ ; see Figs 2 and 4	8	17	pF
		$V_R = 28\text{ V}$ ; $f = 1\text{ MHz}$ ; see Figs 2 and 4	0.7	1.065	pF
$\frac{C_{d(0.5V)}}{C_{d(28V)}}$	capacitance ratio	$f = 1\text{ MHz}$	12	16	

**Note**  
1.  $V_R$  is the value at which  $C_d = 9\text{ pF}$ .

1998 Sep 15

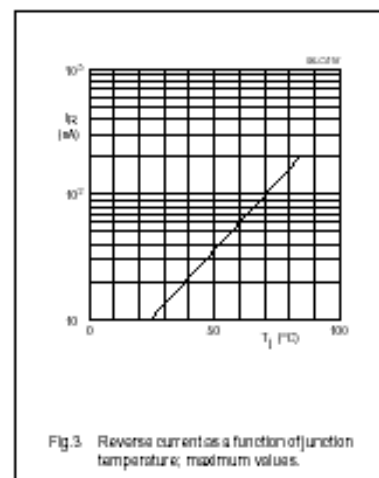
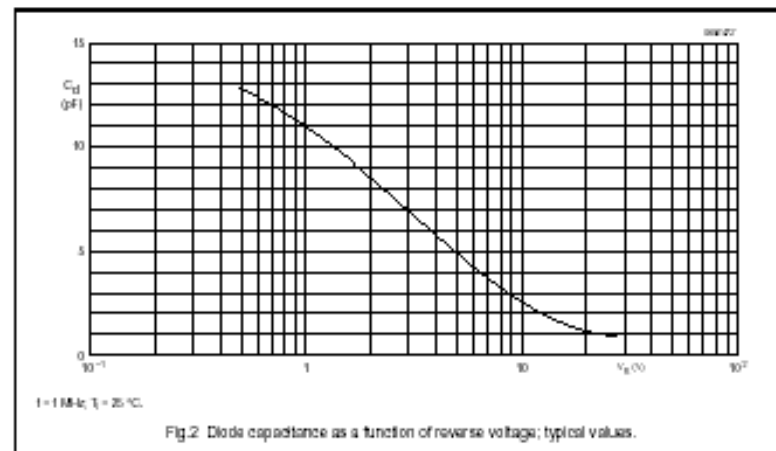
2

# Hojas de características de un diodo varicap (BB131) (II)

## VHF variable capacitance diode

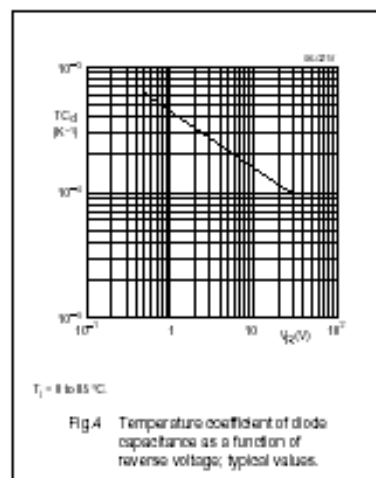
BB131

### GRAPHICAL DATA



1998 Sep 15

3



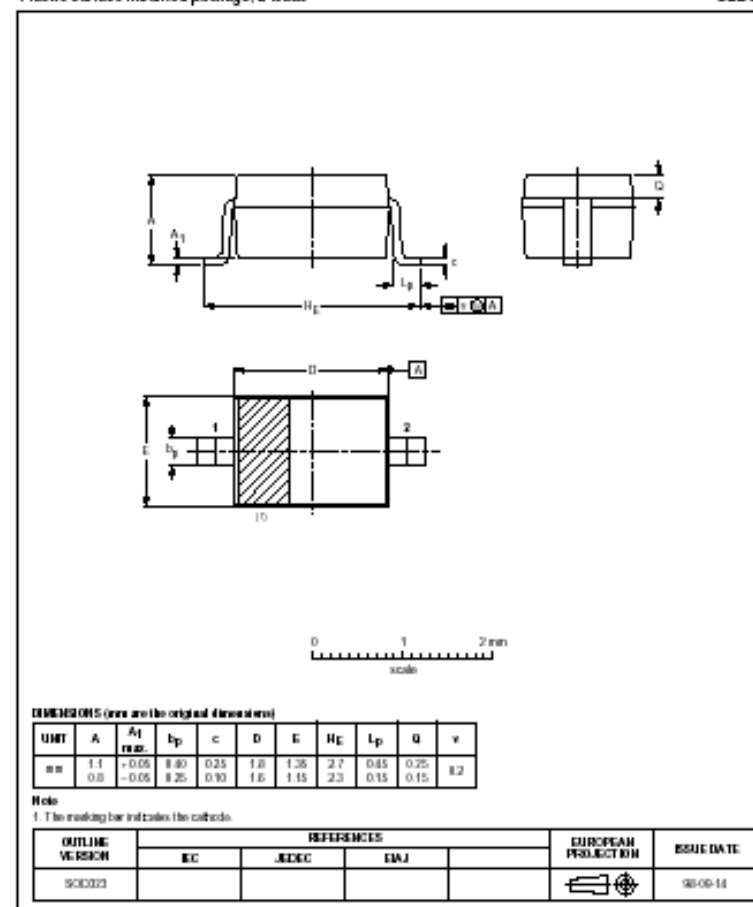
## VHF variable capacitance diode

BB131

### PACKAGE OUTLINE

Plastic surface mounted package; 2 leads

SC0323



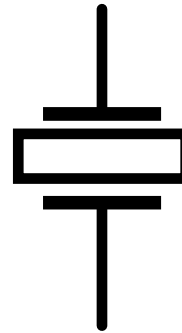
1998 Sep 15

4

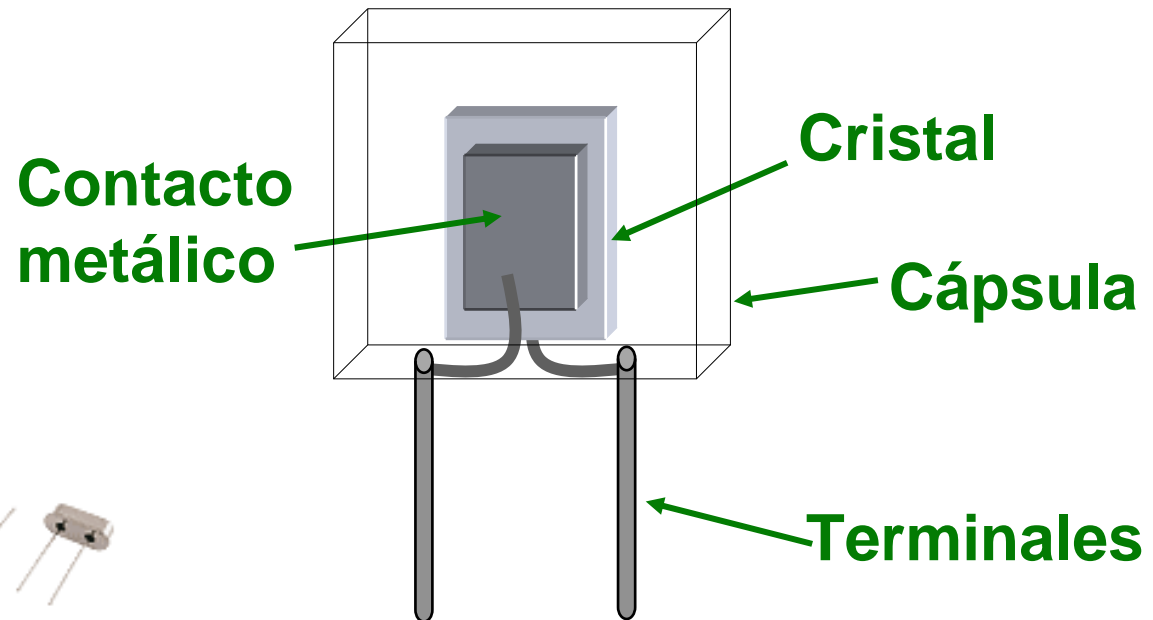
# Osciladores de frecuencia muy constante

- Se basan en el uso de cristales de cuarzo (u otro material piezoeléctrico)

- Símbolo:



- Interior del dispositivo:

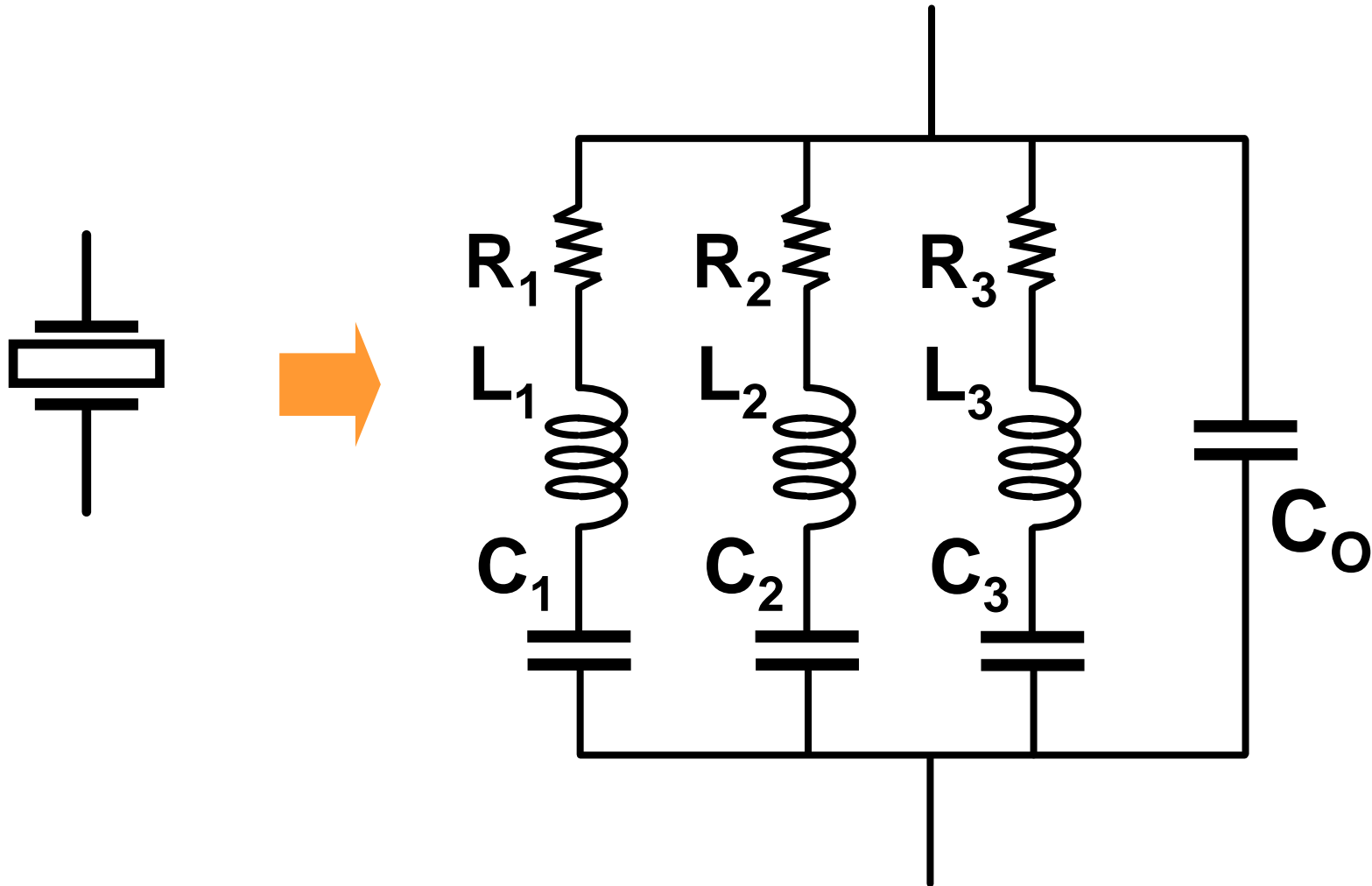


- Aspecto:



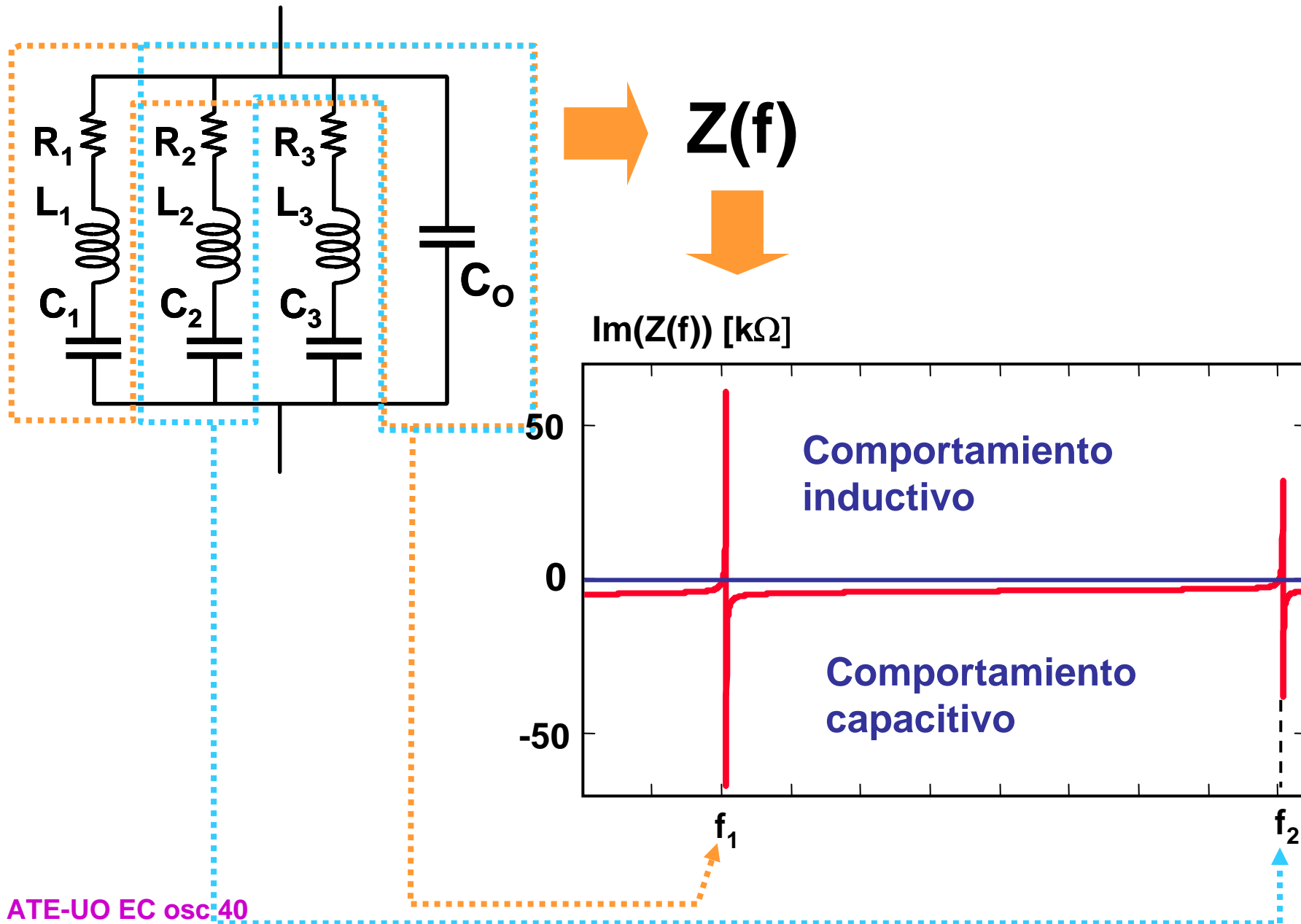
## Cristales piezoeléctricos (I)

- Circuito equivalente de un cristal de cuarzo:



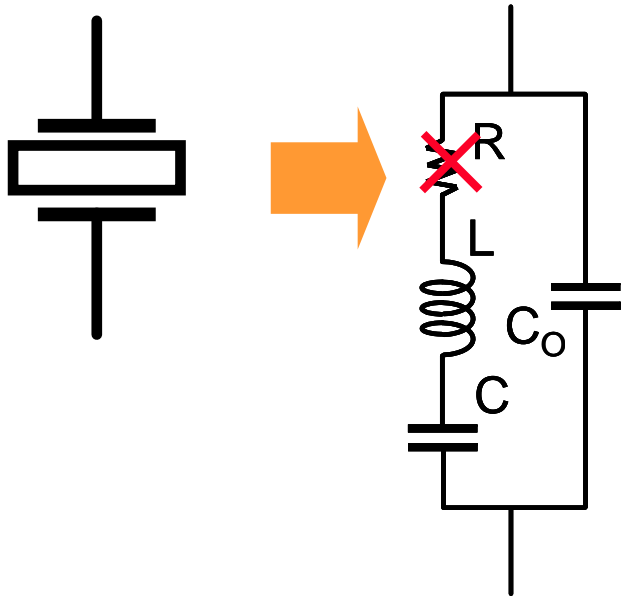


## Cristales piezoeléctricos (II)



## Cristales piezoeléctricos (III)

Modelo simplificado (alrededor de una de las frecuencias en las que se produce comportamiento inductivo)



Ejemplo: cristal de  $\mu\text{P}$  de 10 MHz

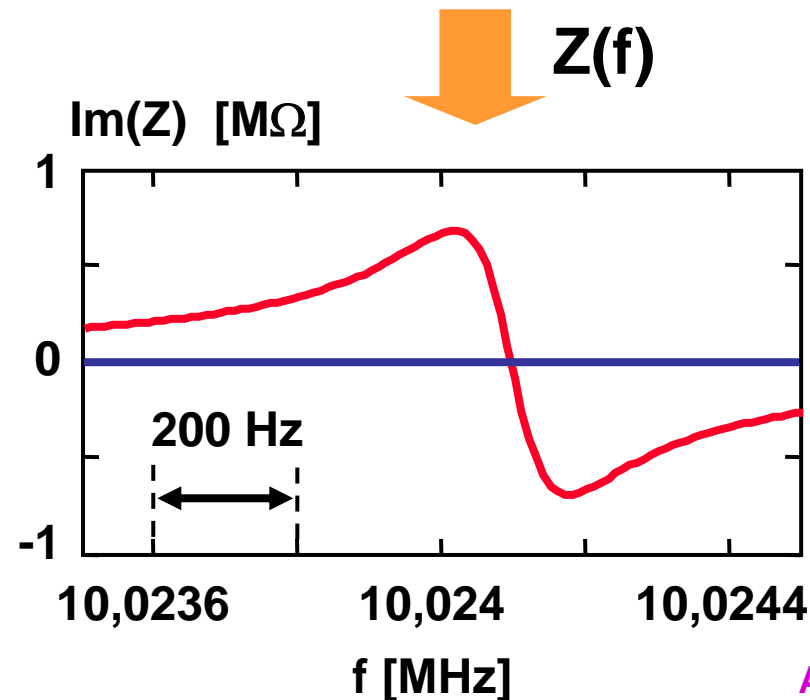
$$R = 20 \, \Omega$$

$$L = 15 \, \text{mH}$$

$$C = 0,017 \, \text{pF}$$

$$C_0 = 3,5 \, \text{pF}$$

$$X_L(10 \, \text{MHz}) = 2\pi \cdot 10^7 \cdot 15 \cdot 10^{-3} = 942 \, \text{k}\Omega$$

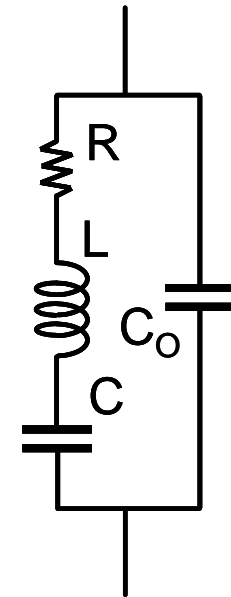
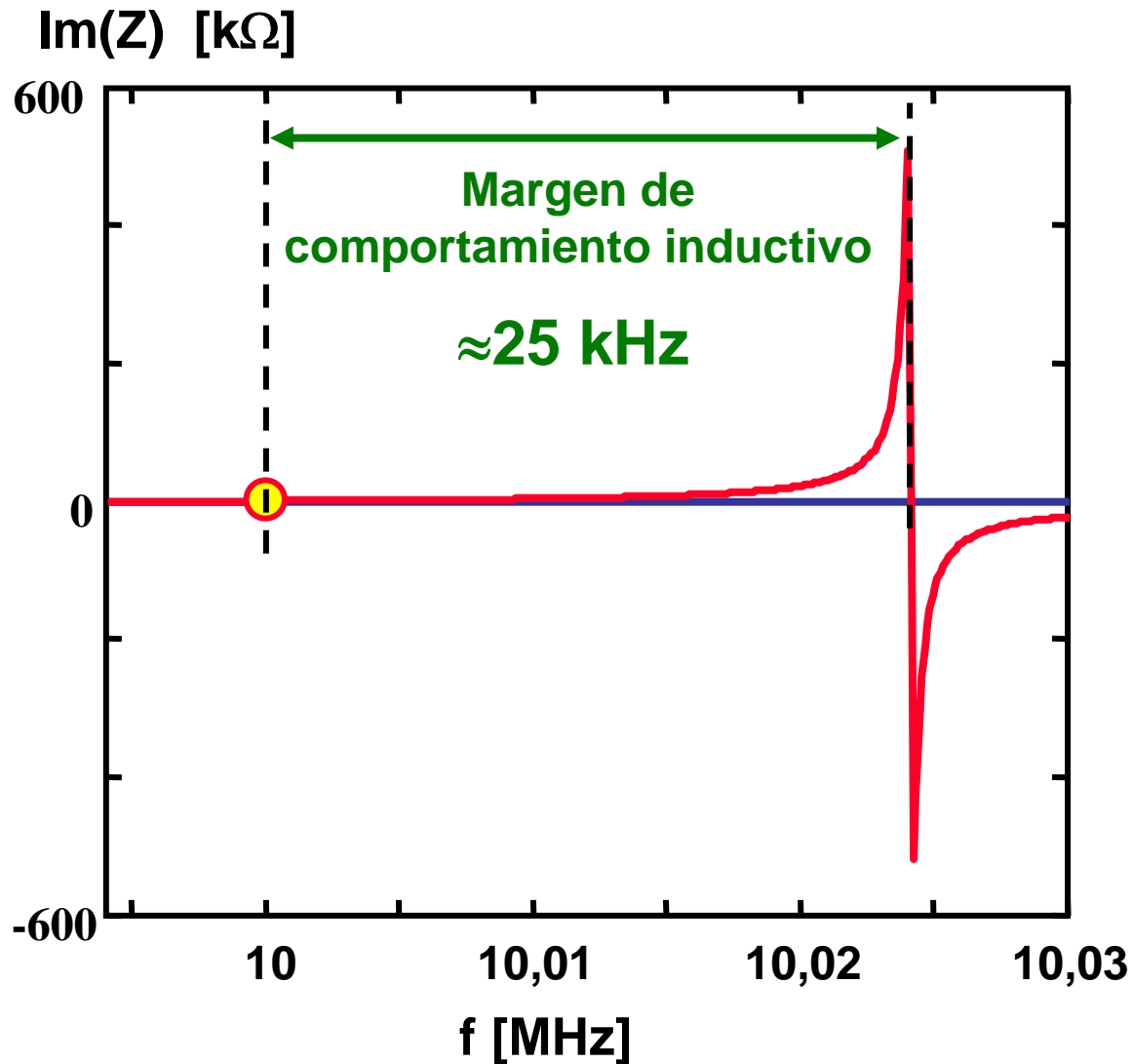


# Cristales piezoeléctricos (IV)

En otra escala

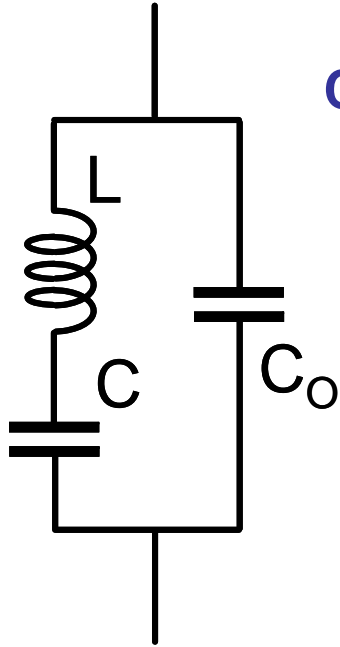
Ejemplo: cristal de  $\mu\text{P}$  de 10 MHz

$R = 20 \, \Omega$     $L = 15 \, \text{mH}$     $C = 0,017 \, \text{pF}$     $C_o = 3,5 \, \text{pF}$



## Cristales piezoeléctricos (V)

Calculamos la impedancia del modelo del cristal



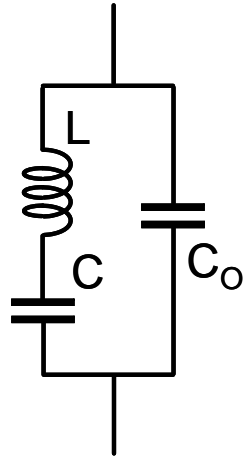
$$Z(s) = \frac{\frac{1}{C_O \cdot s} (L \cdot s + \frac{1}{C \cdot s})}{\frac{1}{C_O \cdot s} + L \cdot s + \frac{1}{C \cdot s}} = \frac{1}{C_P \cdot s} \cdot \frac{(L \cdot C \cdot s^2 + 1)}{(L \cdot C_S \cdot s^2 + 1)}$$

siendo:  $C_S = \frac{C \cdot C_O}{C + C_O}$        $C_P = C + C_O$

Análisis senoidal:  $s = j\omega$

$$Z(j\omega) = \frac{-j}{C_P \cdot \omega} \cdot \frac{(1 - L \cdot C \cdot \omega^2)}{(1 - L \cdot C_S \cdot \omega^2)} = \frac{-j(\omega_1/\omega_2)^2}{C_O \cdot \omega} \cdot \frac{(1 - (\omega/\omega_1)^2)}{(1 - (\omega/\omega_2)^2)}$$

siendo:  $\omega_1 = \frac{1}{\sqrt{L \cdot C}}$        $\omega_2 = \frac{1}{\sqrt{L \cdot C_S}}$



## Cristales piezoeléctricos (VI)

$$Z(j\omega) = \frac{-j(\omega_1/\omega_2)^2}{C_0 \cdot \omega} \cdot \frac{(1 - (\omega/\omega_1)^2)}{(1 - (\omega/\omega_2)^2)} \quad \omega_1 = \frac{1}{\sqrt{L \cdot C}} \quad \omega_2 = \frac{1}{\sqrt{L \cdot C_S}}$$

Como  $C_S < C$ , entonces:  $\omega_2 > \omega_1$

- Si  $\omega < \omega_1$ , entonces también  $\omega < \omega_2$  y entonces:

$Z(j\omega) = -j(\text{cantidad positiva}) < 0$ , es decir, comportamiento capacitivo.

- Si  $\omega_1 < \omega < \omega_2$ , entonces:

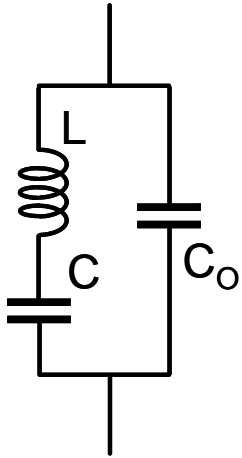
$Z(j\omega) = -j(\text{cantidad negativa}) > 0$ , es decir, comportamiento inductivo.

- Si  $\omega_2 < \omega$ , entonces también  $\omega_1 < \omega$  y entonces:

$Z(j\omega) = -j(\text{cantidad positiva}) < 0$ , es decir, comportamiento capacitivo.

**Solo se comporta de modo inductivo si  $\omega_1 < \omega < \omega_2$**

## Cristales piezoeléctricos (VII)



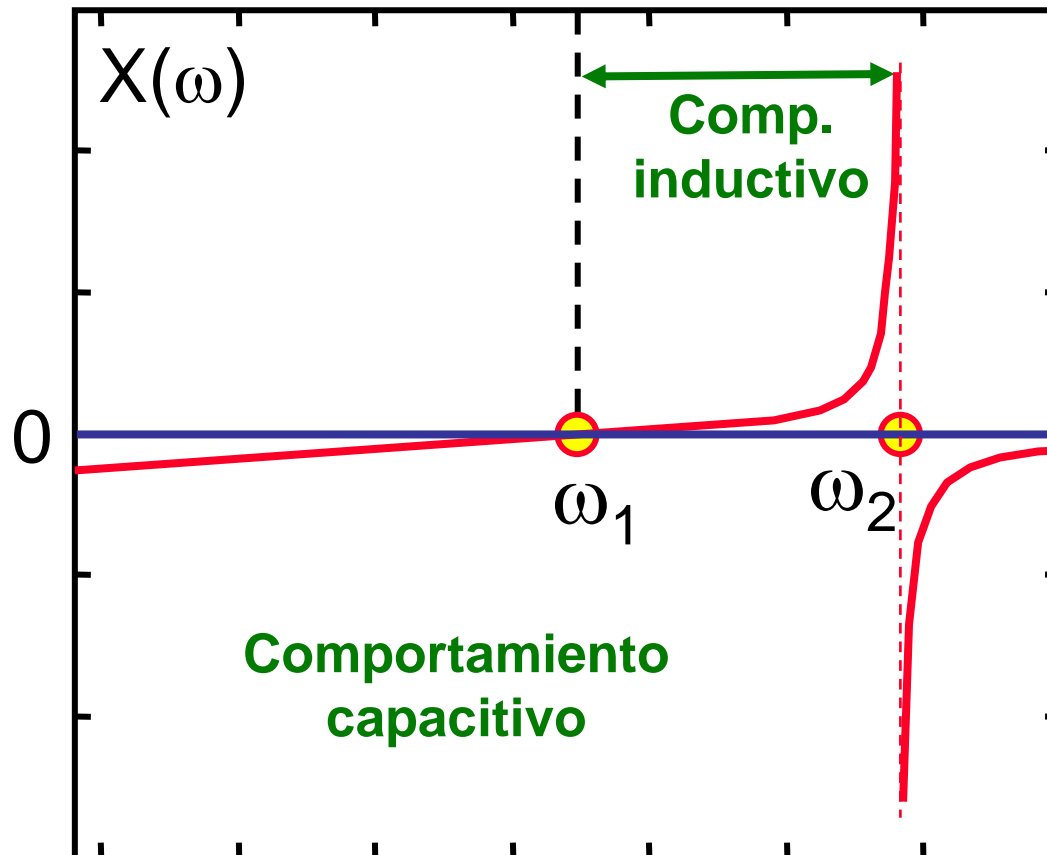
**Resumen:**

$$\omega_1 = \frac{1}{\sqrt{L \cdot C}}$$

$$C_s = \frac{C \cdot C_0}{C + C_0}$$

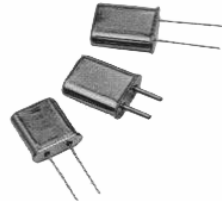
$$\omega_2 = \frac{1}{\sqrt{L \cdot C_s}}$$

$$Z(j\omega) = jX(\omega) \quad X(\omega) = \frac{-(\omega_1/\omega_2)^2}{C_0 \cdot \omega} \cdot \frac{(1 - (\omega/\omega_1)^2)}{(1 - (\omega/\omega_2)^2)}$$



# Hojas de características de cristales de cuarzo

## HC-49/U HC-50/U Crystal



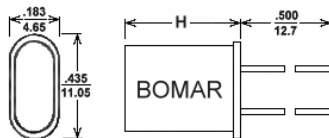
### Specifications:

Frequency Range	2.000 - 150.000 MHz
Frequency Tol. at 25°C.	30PPM - Standard 10PPM to 100PPM
Temperature Range (Operating)	-20 to + 70 C.-Standard
Frequency Stability	10PPM to 100PPM
Load Capacitance	10pF to 100pF or Series Resonant
Shunt Capacitance	7pF Max.
Resistance	See Below
Aging	+/-5PPM/year Max.
Drive Level	1.0mW Max.

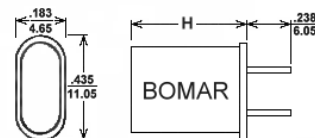
HC-49/U

inches  
mm

HC-50/U



Holder	H
HC-49/U1	.530/13.5
HC-49/U2	.452/11.5

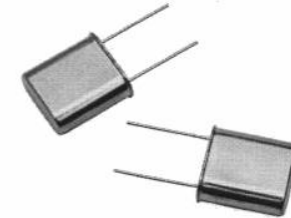


Holder	H
HC-50/U1	.530/13.5
HC-50/U2	.452/11.5

### Equivalent Series Resistance (ESR)

Frequency	Mode	HC-49/U1 HC-50/U1	HC-49/U2 HC-50/U2
2.000 - 2.999	Fundamental	500 ohms	
3.000 - 3.199	Fundamental	300	
3.200 - 3.999	Fundamental	200	
4.000 - 4.499	Fundamental	100	
4.500 - 4.999	Fundamental	75	
5.000 - 6.999	Fundamental	70	
7.000 - 9.999	Fundamental	50	
10.000 - 25.000	Fundamental	30	40 ohms
20.000 - 29.999	Third Overtone	50	60
30.000 - 75.000	Third Overtone	40	60
60.000 - 125.000	Fifth Overtone	70	80
110.000 - 150.000	Seventh Overtone	120	120

## HC-51/U Crystal

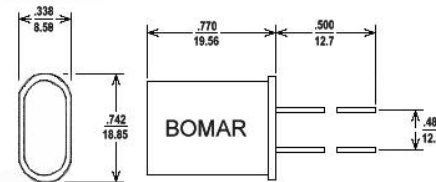


### Specifications:

Frequency Range	1.000 - 10.000 MHz
Freq. Tolerance @ 25 C.	30PPM - Standard 10PPM to 100PPM
Temperature Range (Operating)	-20 to +70 C. - Standard
Frequency Stability	10PPM to 100PPM
Load Capacitance	10pF to 100pF or Series Resonant
Shunt Capacitance	7pF Max.
Resistance	See Below
Aging	+/-5PPM/year Max.
Drive Level	1.0mW Max.

HC-51/U

inches  
mm



### Equivalent Series Resistance(ESR)

Frequency	Mode	HC-51/U
1.000 - 1.499	Fundamental	500 ohms
1.500 - 1.999	Fundamental	400
2.000 - 2.999	Fundamental	300
3.000 - 3.999	Fundamental	150
4.000 - 5.999	Fundamental	75
6.000 - 10.000	Fundamental	60

To Order ~ Phone: 1-800-526-3935 ~ Fax: 1-800-777-2197  
www.bomarcystal.com ~ e-mail: sales@bomarcystal.com

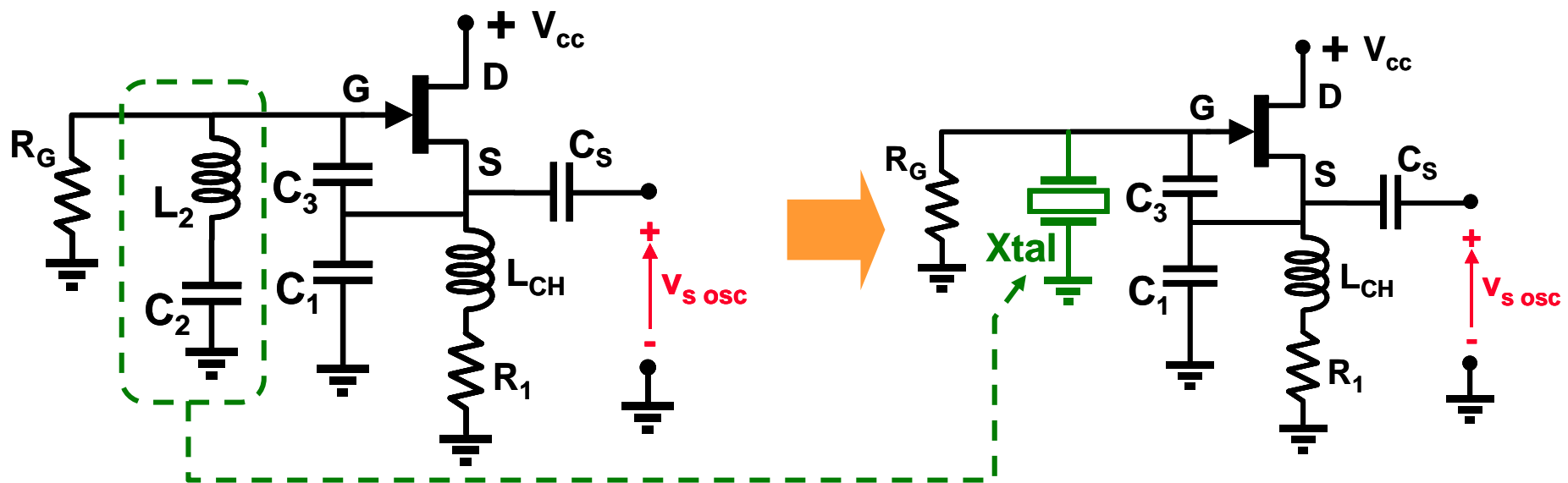
To Order ~ Phone: 1-800-526-3935 ~ Fax: 1-800-777-2197  
www.bomarcystal.com ~ e-mail: sales@bomarcystal.com

## Osciladores a cristal

Se basan en el uso de una red de realimentación que incluye un dispositivo piezoeléctrico (típicamente un cristal de cuarzo). Tipos:

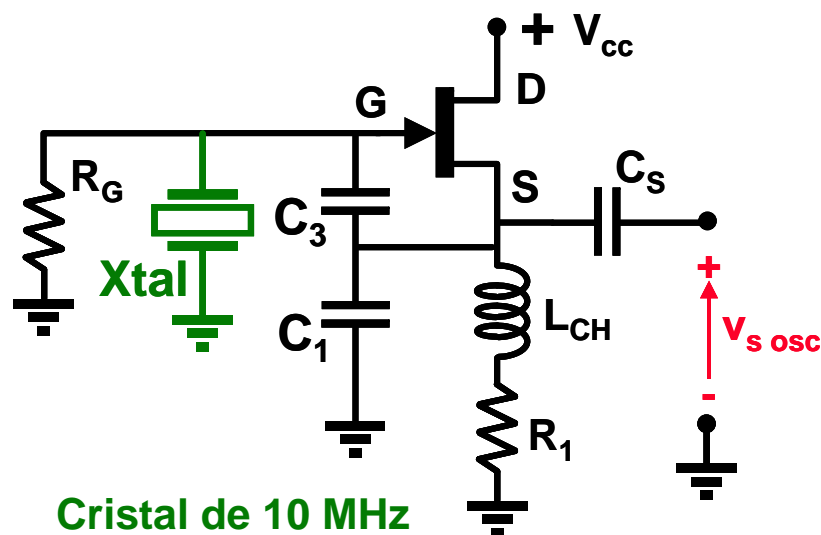
- Basados en la sustitución de una bobina por un cristal de cuarzo en un oscilador clásico (Colpitts, Clapp, Hartley, etc.)  $\Rightarrow$  El cristal de cuarzo trabaja en su zona inductiva.
- Basados en el uso del cristal de cuarzo en resonancia serie.

### Basados en la sustitución de una bobina por un cristal (I)





## Osciladores basados en la sustitución de una bobina por un cristal (II)



Cristal de 10 MHz

$L = 15 \text{ mH}$        $R = 20 \Omega$

$C = 0,017 \text{ pF}$        $C_O = 3,5 \text{ pF}$

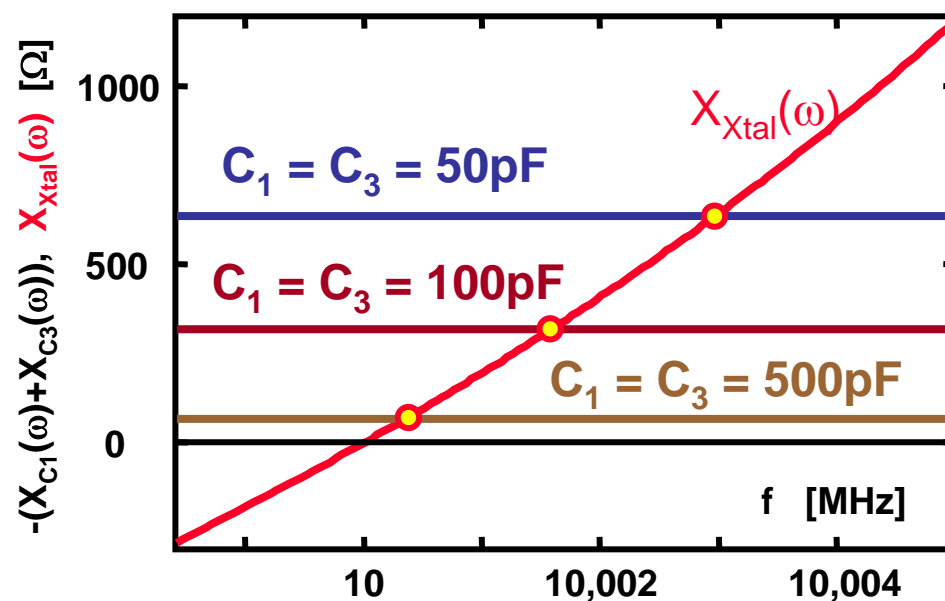
Condiciones de oscilación:

$$g \cdot \frac{R_s \cdot C_1}{C_3} > 1 \quad (\text{no depende del cristal})$$

Cálculo de la frecuencia de oscilación :

$$X_{C1}(\omega_{\text{osc}}) + X_{C3}(\omega_{\text{osc}}) + X_{\text{Xtal}}(\omega_{\text{osc}}) = 0$$

Gráficamente:



## Osciladores basados en la sustitución de una bobina por un cristal (III)

**Analíticamente:**

$$X_{C1}(\omega_{osc}) + X_{C3}(\omega_{osc}) + X_{Xtal}(\omega_{osc}) = 0$$

$$X_{Xtal}(\omega_{osc}) = \frac{-(\omega_1/\omega_2)^2}{C_O \cdot \omega_{osc}} \cdot \frac{(1 - (\omega_{osc}/\omega_1)^2)}{(1 - (\omega_{osc}/\omega_2)^2)}$$

$$X_{C1}(\omega_{osc}) + X_{C3}(\omega_{osc}) = \frac{-1}{C_1 \cdot \omega_{osc}} + \frac{-1}{C_3 \cdot \omega_{osc}}$$

**Despejando  $\omega_{osc}$  se obtiene:**

$$\omega_{osc} = \omega_1 \sqrt{1 + \frac{C}{\frac{C_1 \cdot C_3}{C_1 + C_3} + C_O}}$$

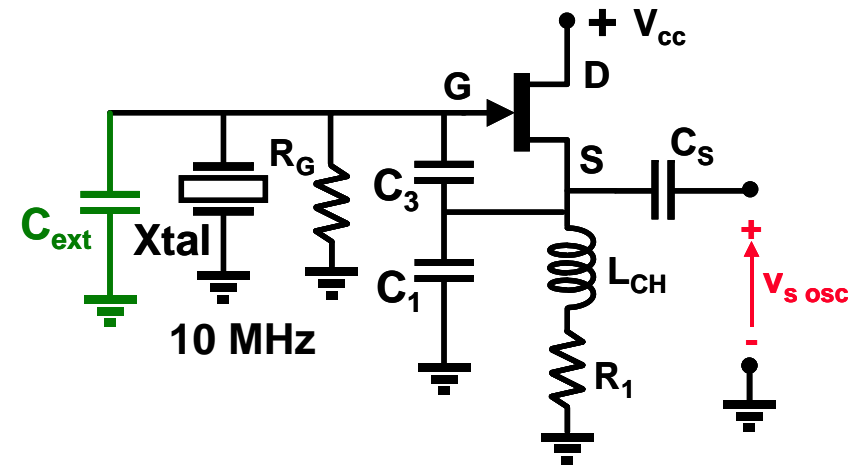
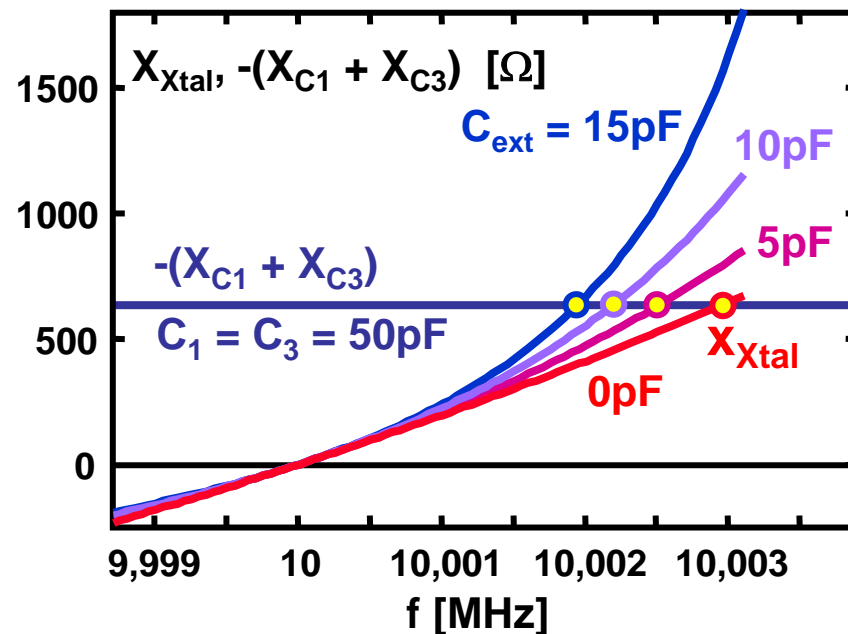
**Nótese que  $\omega_1 < \omega_{osc} < \omega_2$  ya que:**

$$\omega_2 = \omega_1 \sqrt{1 + \frac{C}{C_O}}$$

# Osciladores basados en la sustitución de una bobina por un cristal (IV)

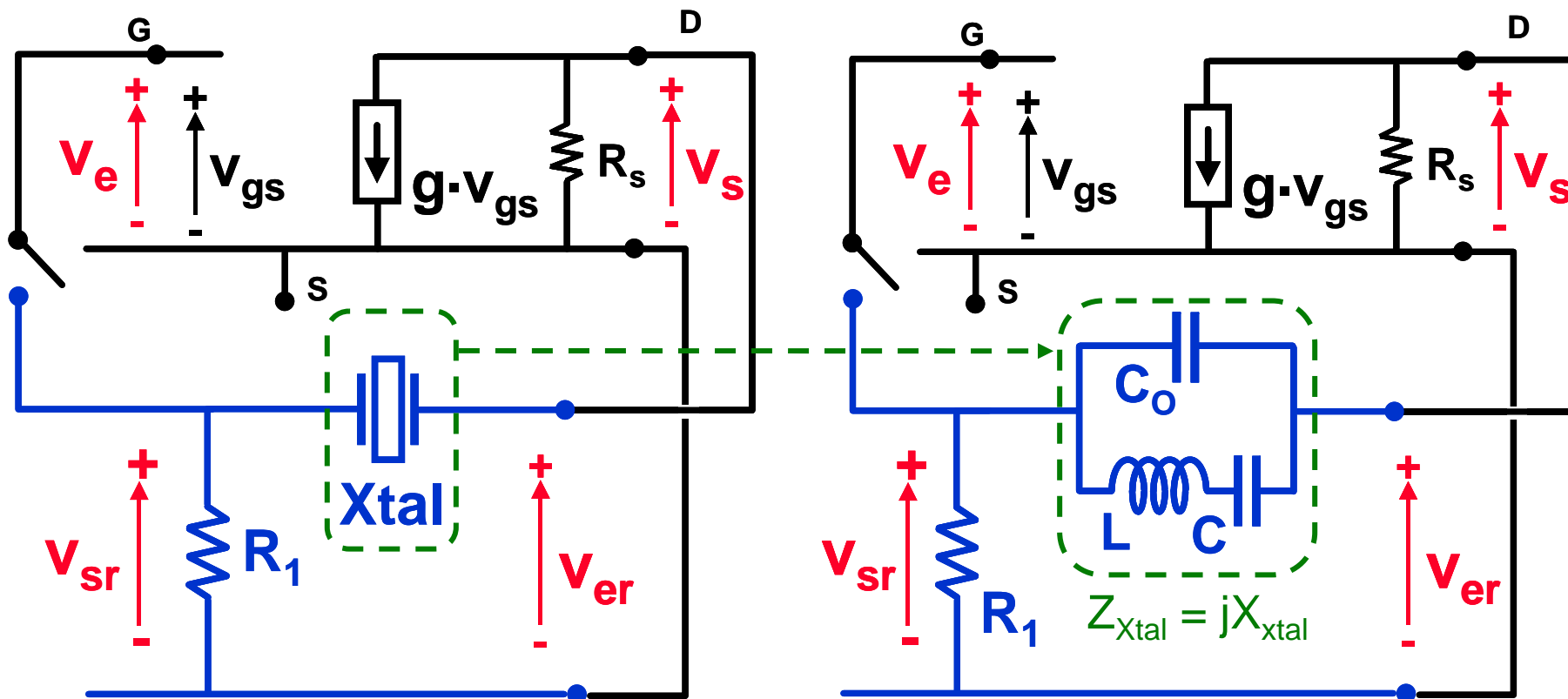
Ajuste de la frecuencia de oscilación: modificar el valor de  $C_o$  externamente poniendo un condensador  $C_{ext}$  en paralelo con el cristal

$$\omega_{osc} = \omega_1 \sqrt{1 + \frac{C}{\frac{C_1 \cdot C_3}{C_1 + C_3} + C_o + C_{ext}}}$$



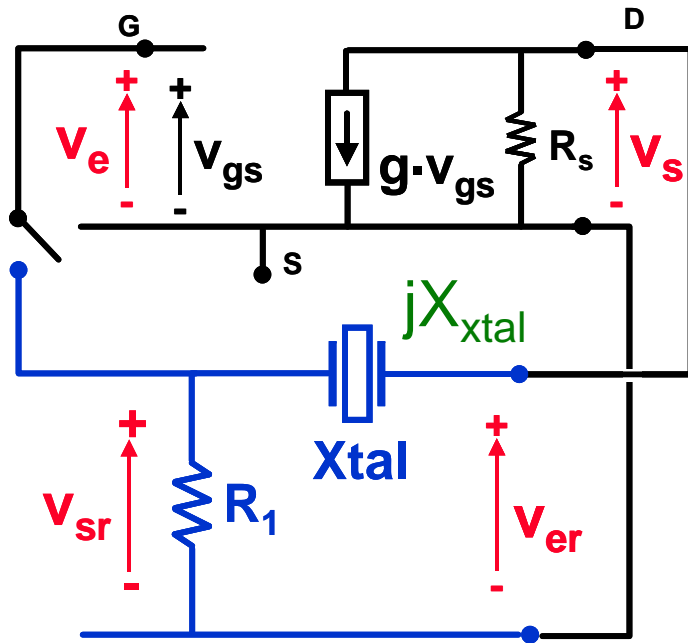
$$\begin{aligned} f_{osc}(C_{ext} = 0pF) &= 10.002,9622 \text{ kHz} \\ f_{osc}(C_{ext} = 5pF) &= 10.002,5201 \text{ kHz} \\ f_{osc}(C_{ext} = 10pF) &= 10.002,1929 \text{ kHz} \\ f_{osc}(C_{ext} = 15pF) &= 10.001,9408 \text{ kHz} \end{aligned}$$

## Osciladores basados en el uso del cristal de cuarzo en resonancia serie (I)



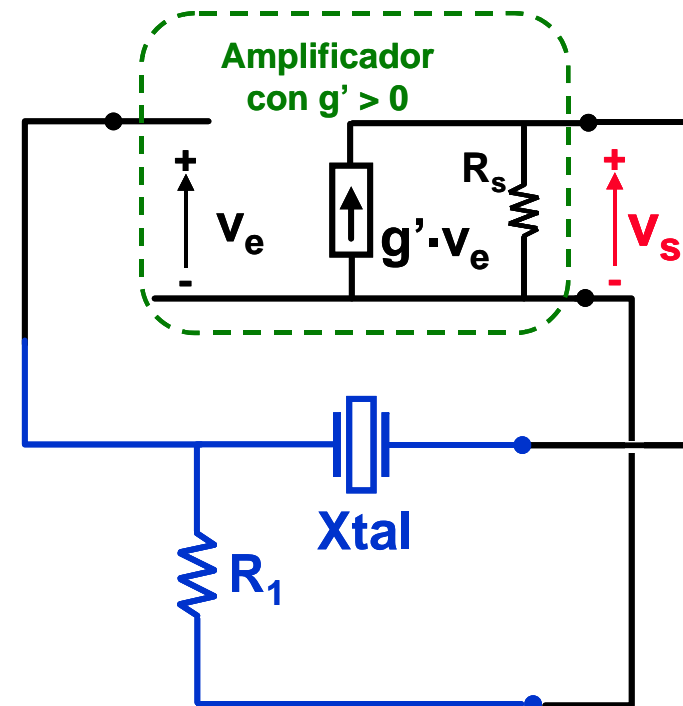
En este caso: 
$$A(j\omega) \cdot \beta(j\omega) = -g \cdot \frac{R_s \cdot R_1}{jX_{\text{Xtal}} + R_1 + R_s}$$

## Osciladores basados en el uso del cristal de cuarzo en resonancia serie (II)

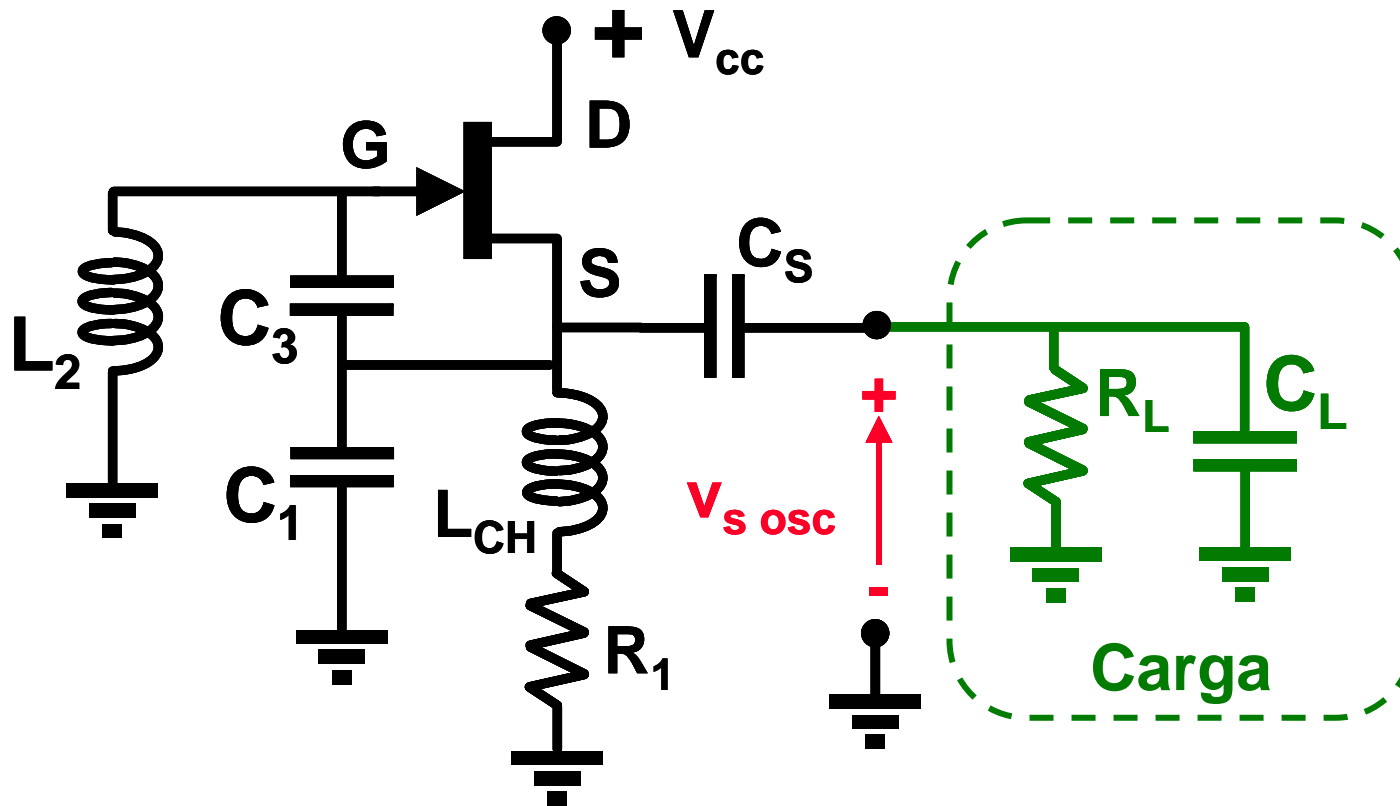


En oscilación:

- $X_{xta} = 0$  ya que  $|A(j\omega_{osc}) \cdot \beta(j\omega_{osc})| = 0^0$
- $0 > -(R_1 + R_s) / (R_1 \cdot R_s) > g$  ya que  $|A(j\omega_{osc}) \cdot \beta(j\omega_{osc})| > 1$

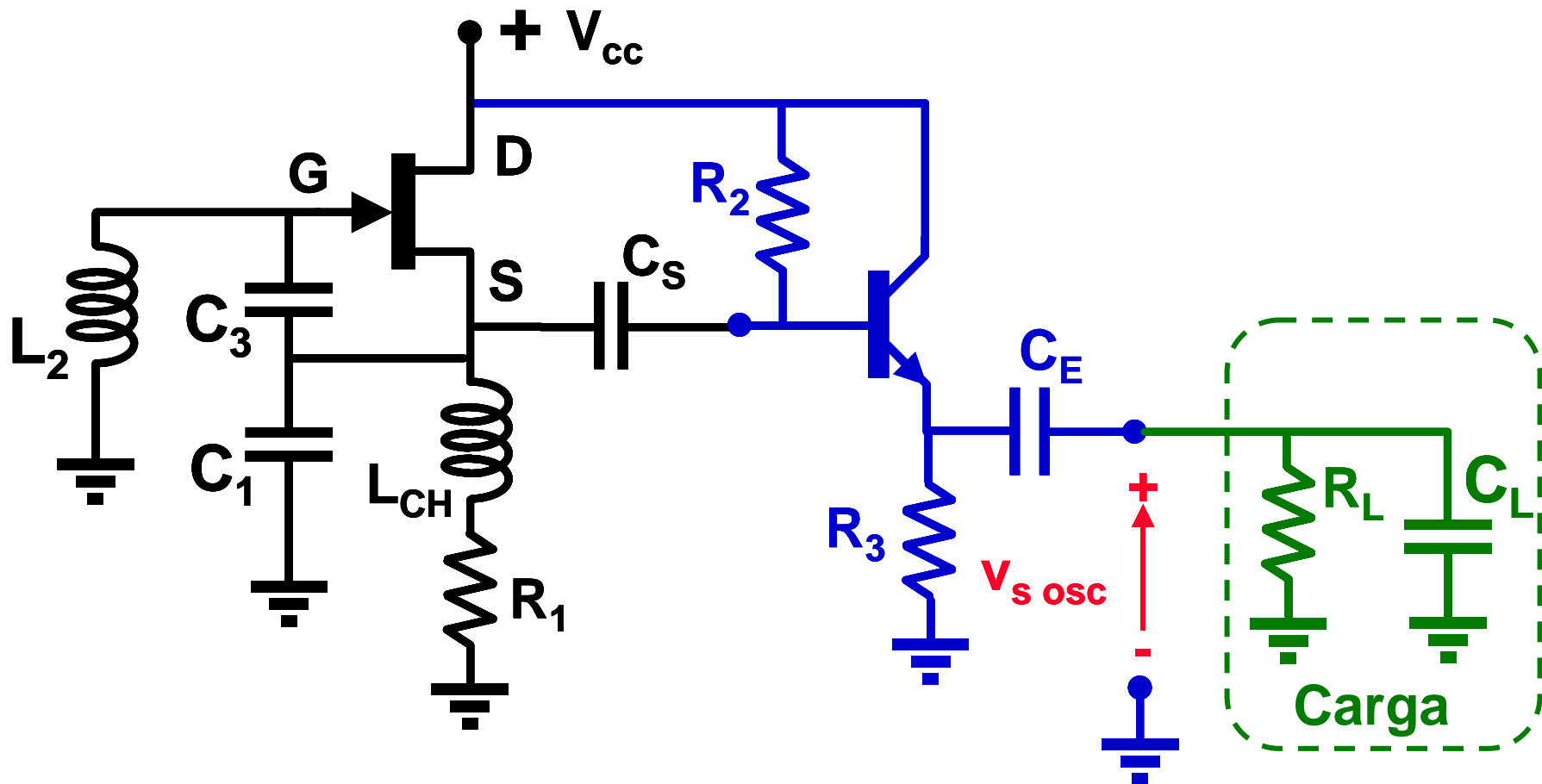


## Conexión de la carga a un oscilador (I)



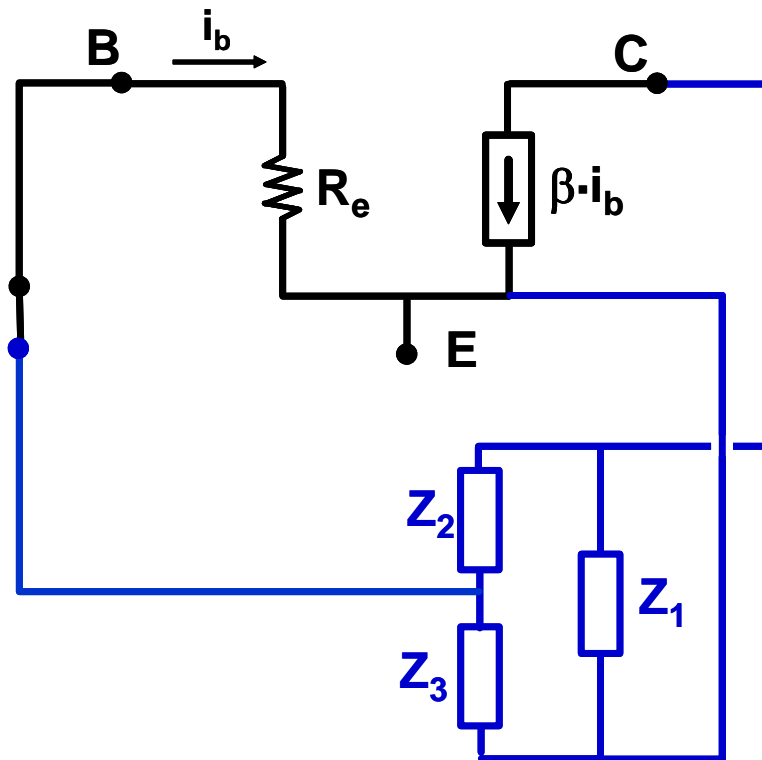
- $C_L$  influye en la frecuencia de oscilación y  $R_L$  influye en la ganancia del transistor.
- Hay que conectar etapas que aíslen al oscilador de la carga.

## Conexión de la carga a un oscilador (II)



Etapa en “colector común” para minimizar la influencia de la carga en el oscilador.

## Osciladores con transistores bipolares (I)



Estudio y resultados  
prácticamente idénticos  
al caso de transistores  
de efecto de campo.

$$\begin{aligned} Z_1 &= j \cdot X_1 \\ Z_2 &= j \cdot X_2 \\ Z_3 &= j \cdot X_3 \end{aligned}$$

En este caso:  $A(j\omega_{osc}) \cdot \beta(j\omega_{osc}) = -\beta \cdot \frac{-X_3 \cdot X_1}{j \cdot R_e \cdot (X_1 + X_2 + X_3) - X_3 \cdot (X_1 + X_2)}$

$= 0$

queda:  $A(j\omega_{osc}) \cdot \beta(j\omega_{osc}) = \beta \cdot \frac{X_1(\omega_{osc})}{X_3(\omega_{osc})}$

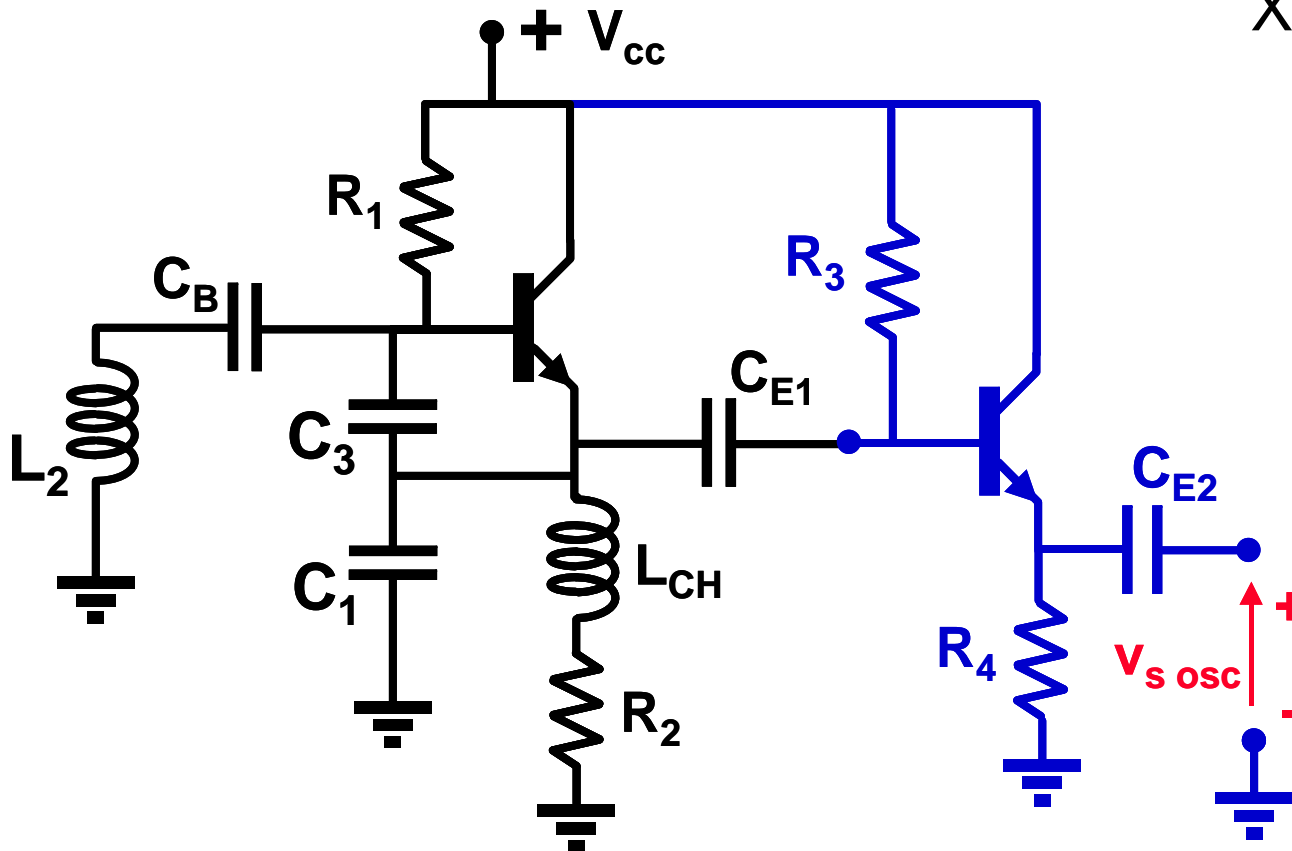


## Osciladores con transistores bipolares (II)

• Como:  $|A(j\omega_{osc}) \cdot \beta(j\omega_{osc})| = 0^0$  (es decir, **POSITIVO**),  $X_1$  y  $X_3$  deben ser del mismo tipo (dos bobinas o dos condensadores).

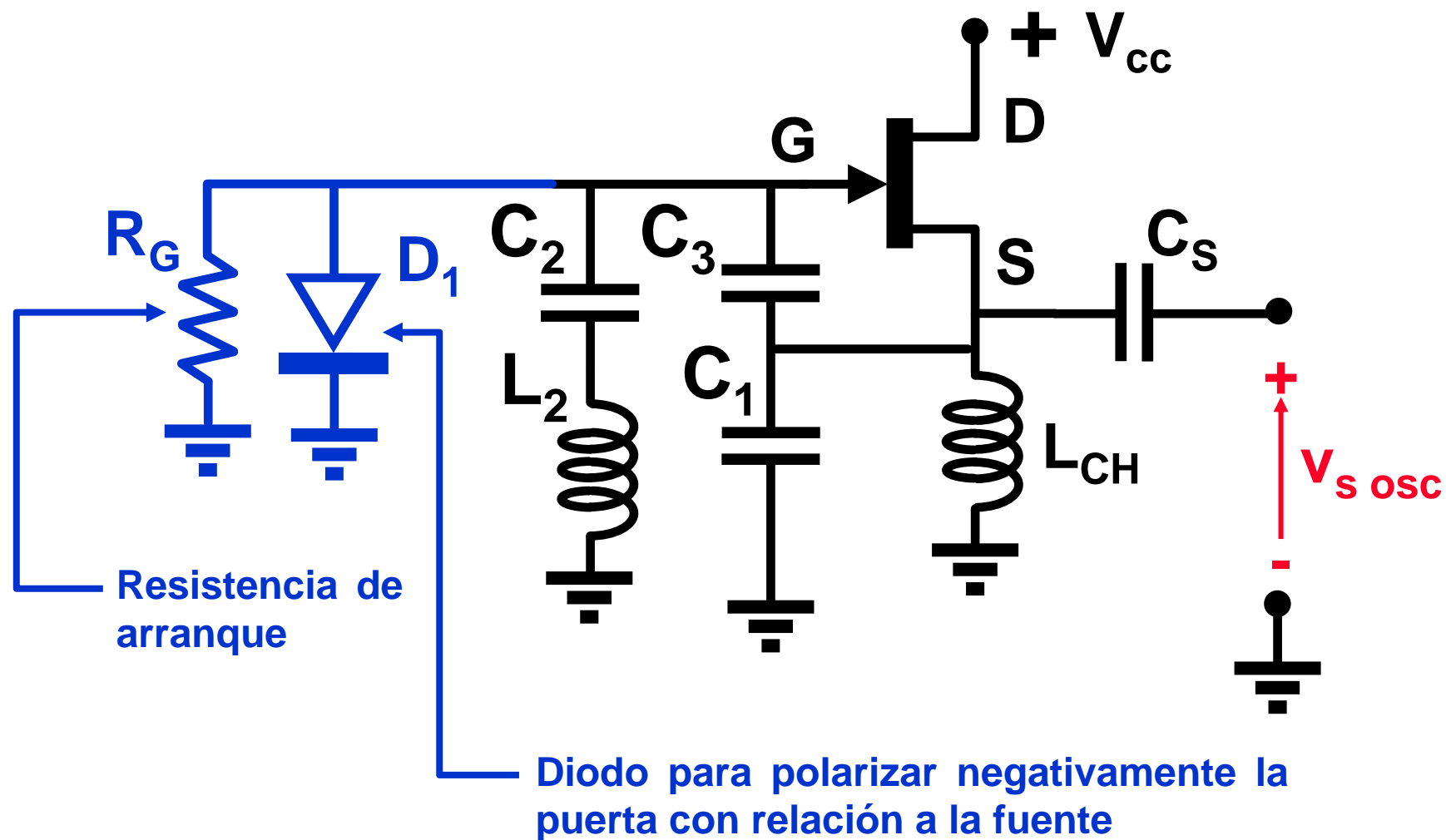
• Como para que el circuito oscile debe cumplirse que  $|A(j\omega_{osc}) \cdot \beta(j\omega_{osc})| > 1$ , entonces queda:

$$\beta \cdot \frac{X_1(\omega_{osc})}{X_3(\omega_{osc})} > 1$$

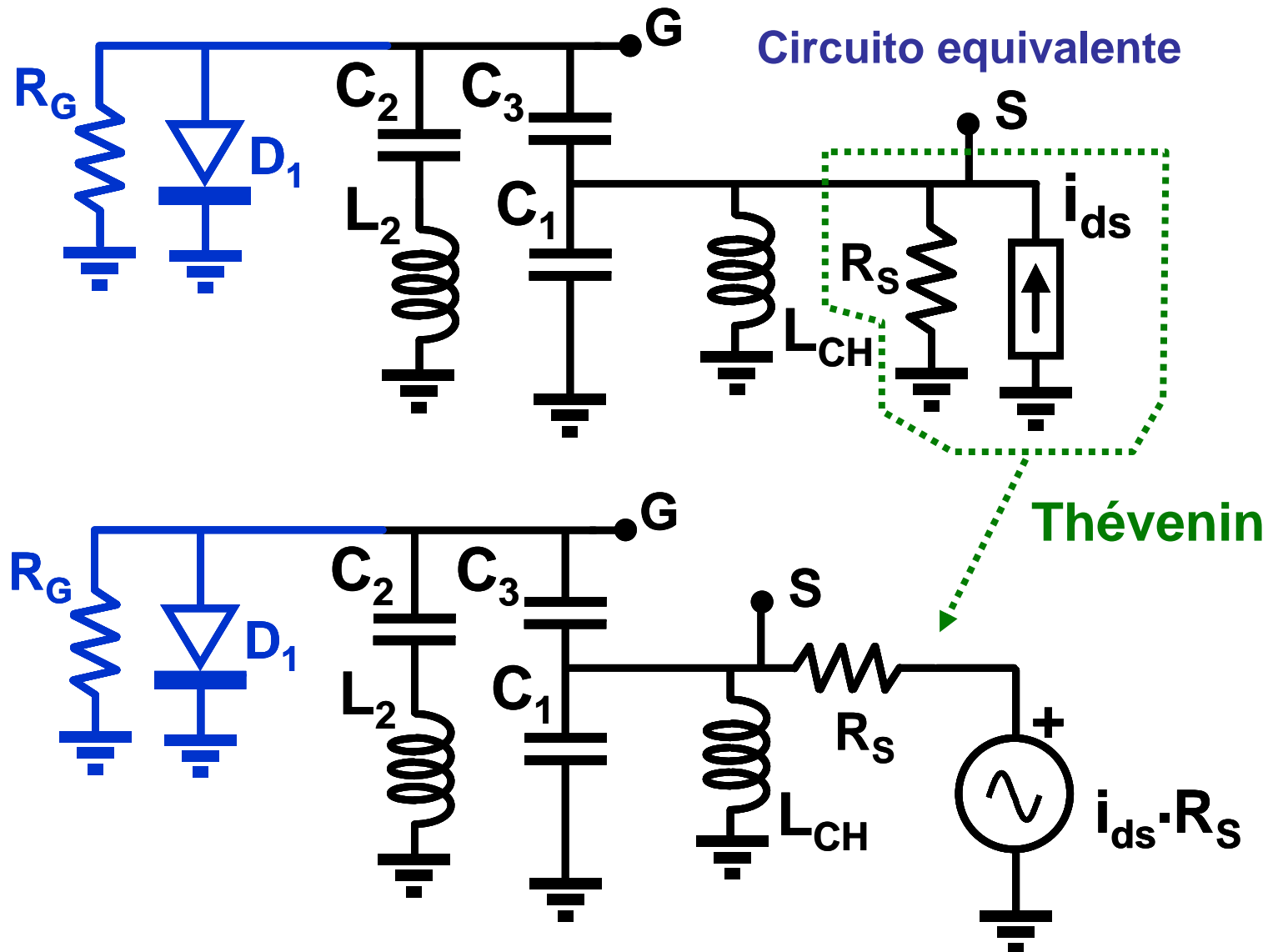


Colpitts en colector común con transistor bipolar + seguidor de tensión.

## Circuitos para limitar automáticamente la ganancia en el transistor (ejemplo con JFET) (I)



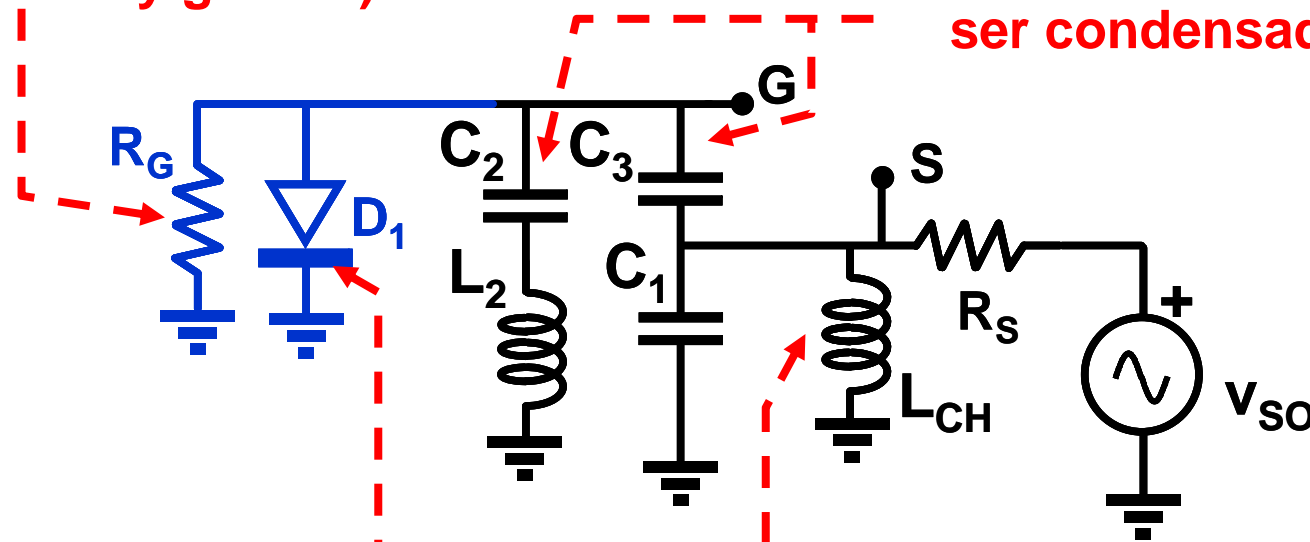
## Circuitos para limitar automáticamente la ganancia en el transistor (ejemplo con JFET) (II)



## Circuitos para limitar automáticamente la ganancia en el transistor (ejemplo con JFET) (III)

Corriente despreciable  
(resistencia muy grande)

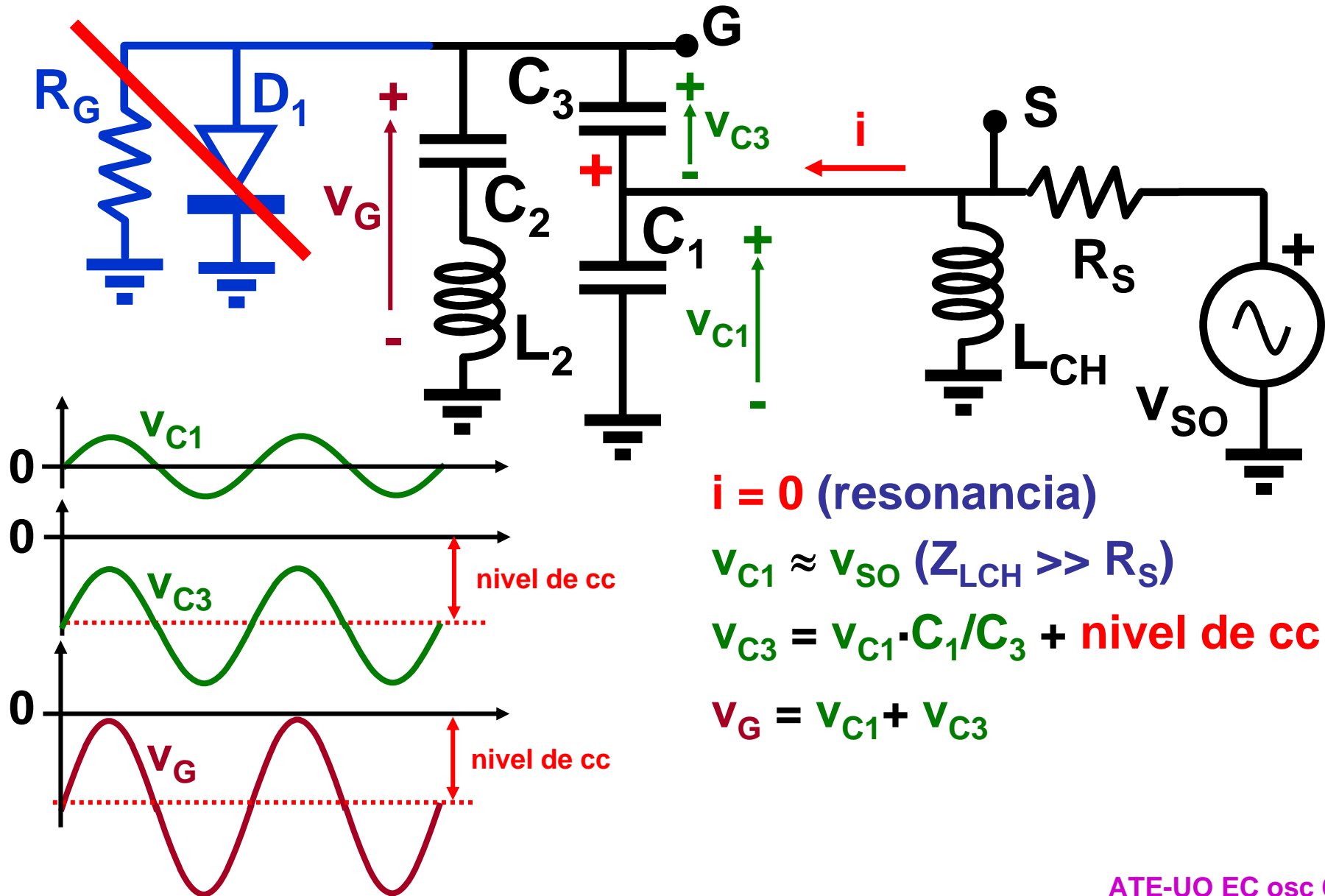
Corriente media nula (por  
ser condensadores)



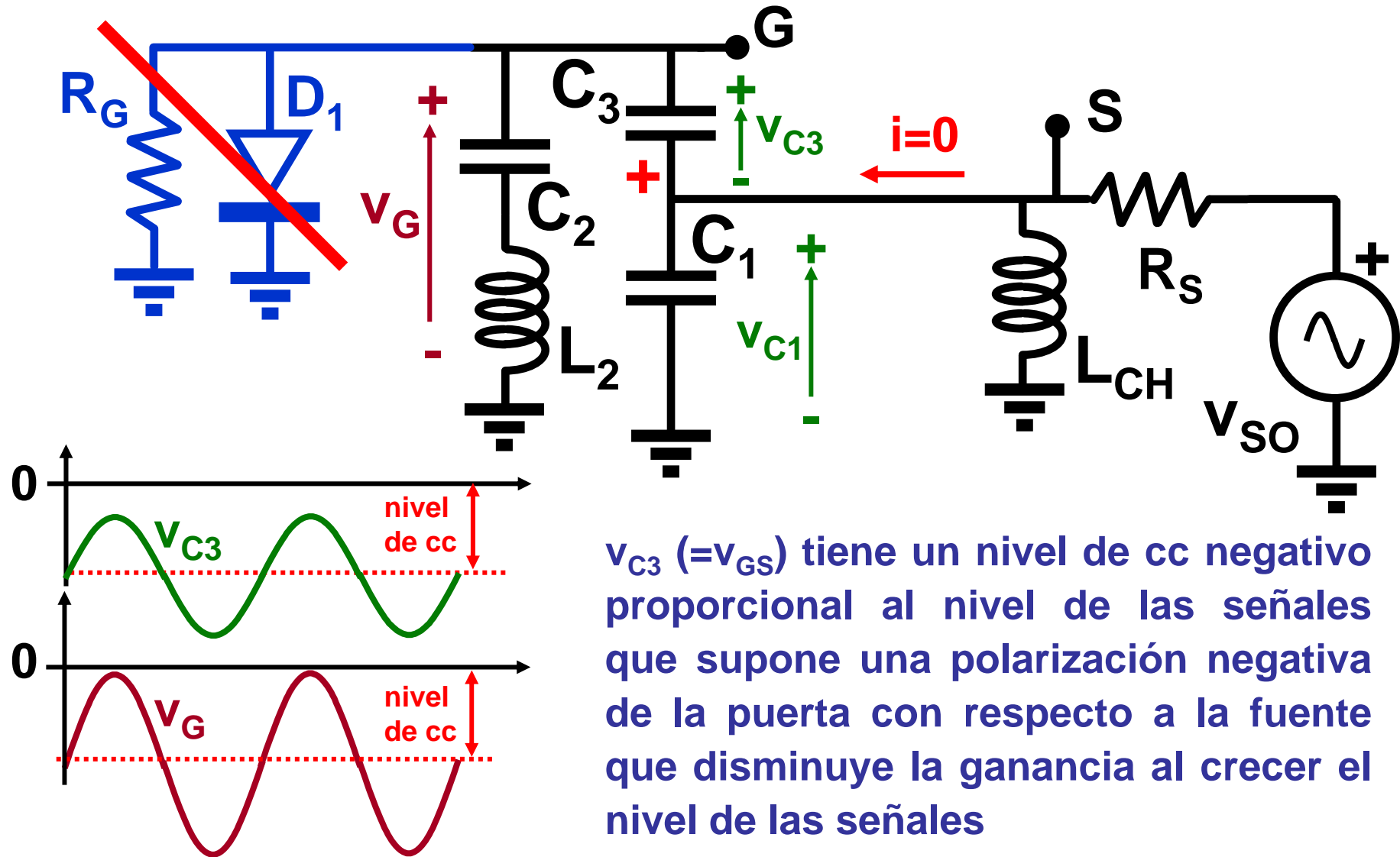
*Luego: la corriente media por el diodo debe ser nula. Para ello,  $C_3$  debe cargarse de tal forma que no conduzca el diodo.*

Tensión media nula  
(por ser una bobina)

## Circuitos para limitar automáticamente la ganancia en el transistor (ejemplo con JFET) (IV)



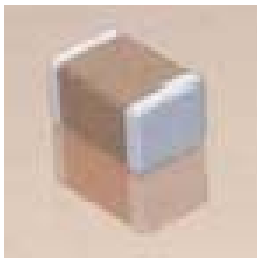
## Circuitos para limitar automáticamente la ganancia en el transistor (ejemplo con JFET) (V)



## Condensadores adecuados para osciladores de alta frecuencia

Deben ser condensadores cuya capacidad varíe muy poco con la frecuencia. Ejemplos:

- Condensadores cerámicos NP0.
- Condensadores de aire (los variables)
- Condensadores de mica.
- Condensadores de plásticos de tipo Styroflex.



**Cerámicos NP0**



**Mica**



**Styroflex.**

# Ejemplos de esquemas reales de osciladores (I)

## (obtenidos del ARRL Handbook 2001)

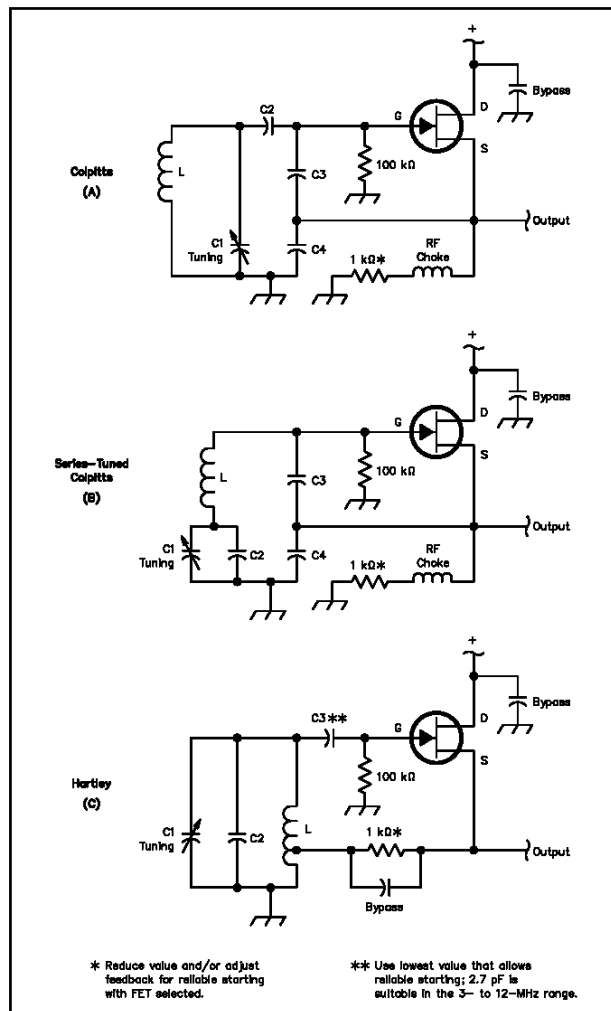


Fig 14.12 — The Colpitts (A), series-tuned Colpitts (B) and Hartley (C) oscillator circuits. Rules of thumb:  $C3$  and  $C4$  at A and B should be equal and valued such that their  $X_C = 45\ \Omega$  at the operating frequency; for  $C2$  at A,  $X_C = 100\ \Omega$ . For best stability, use C0G or NP0 units for all capacitors associated with the FETs' gates and sources. Depending on the FET chosen, the  $1\text{-k}\Omega$  source-bias-resistor value shown may require adjustment for reliable starting.

AC/RF Sources (Oscillators and Synthesizers) 14.19

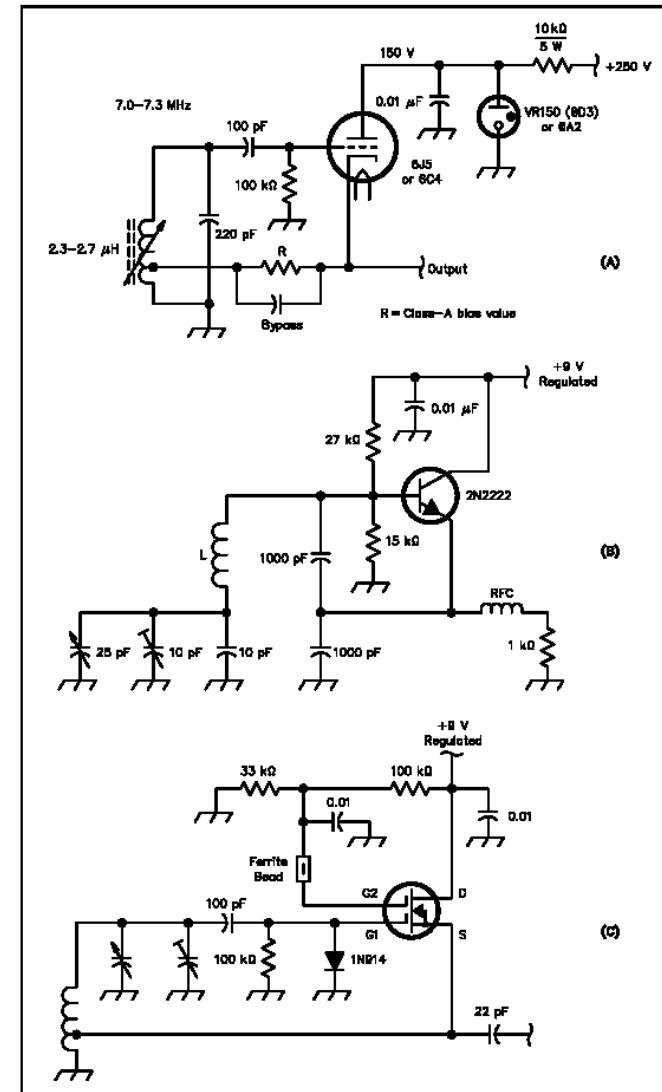


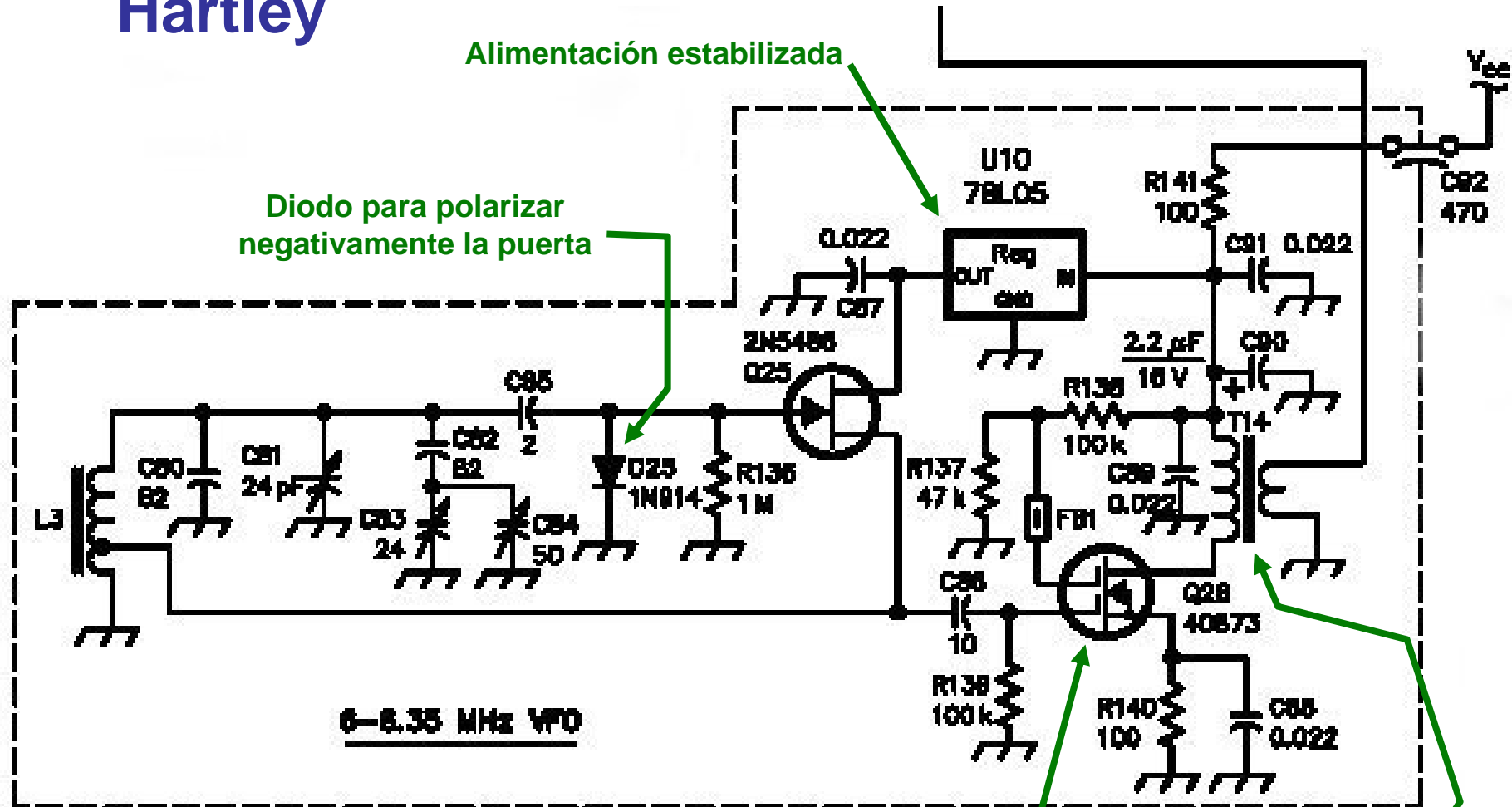
Fig 14.13 — Three more oscillator examples: at A, a triode-tube Hartley; at B, a bipolar junction transistor in a series-tuned Colpitts; at C, a dual-gate MOSFET Hartley.



# Ejemplos de esquemas reales de osciladores (II)

(obtenidos del ARRL Handbook 2001)

## Hartley



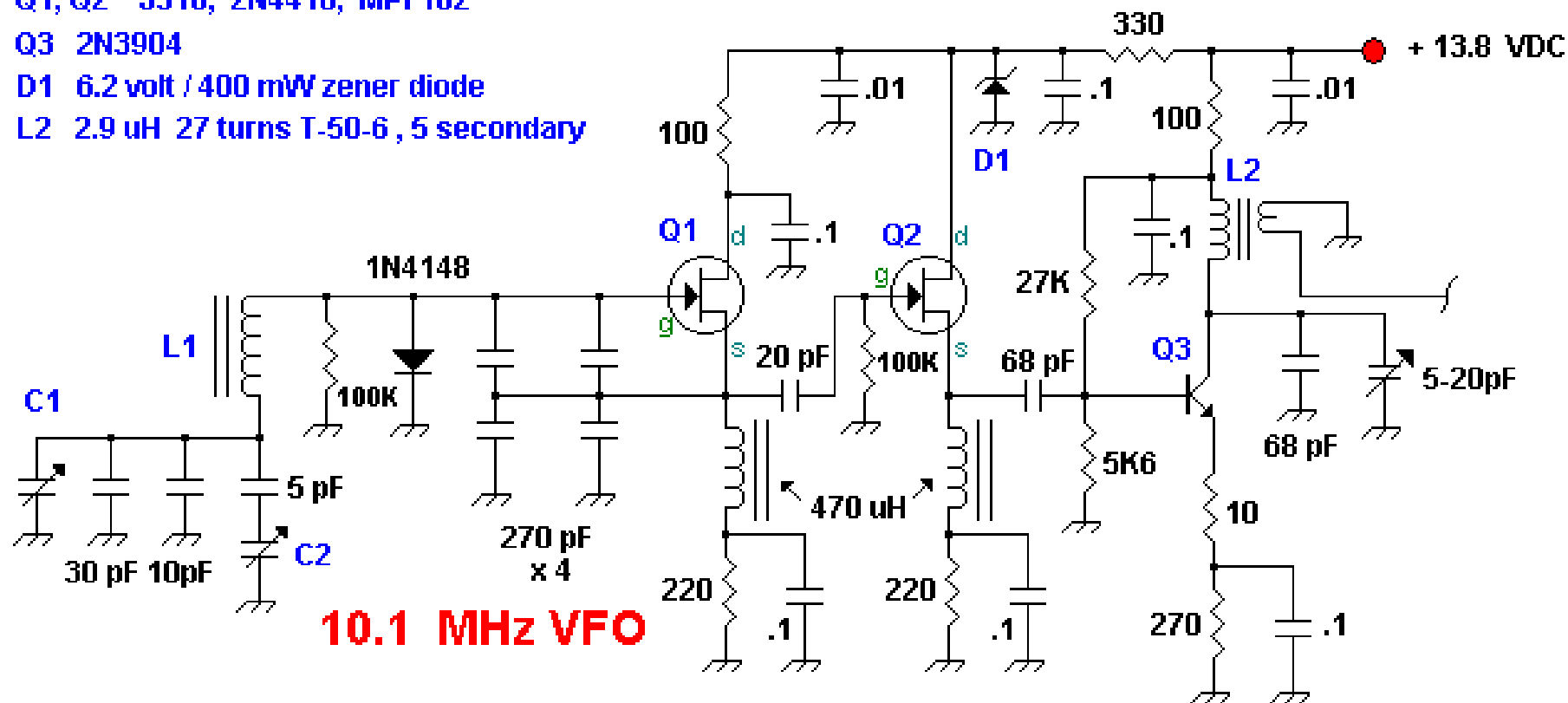
# Ejemplos de esquemas reales de osciladores (III)

(obtenidos en <http://www.qrp.pops.net/VFO.htm>)

## Colpitts

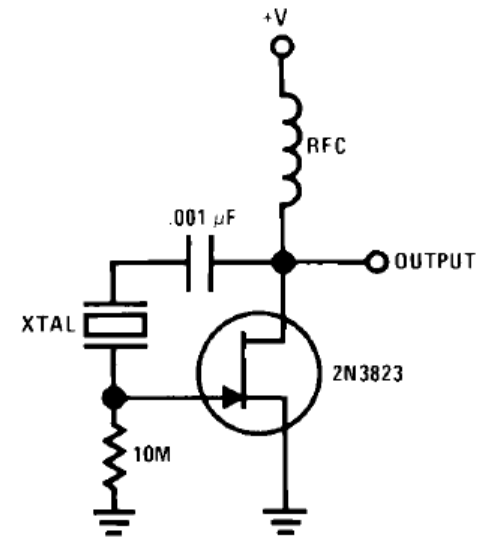
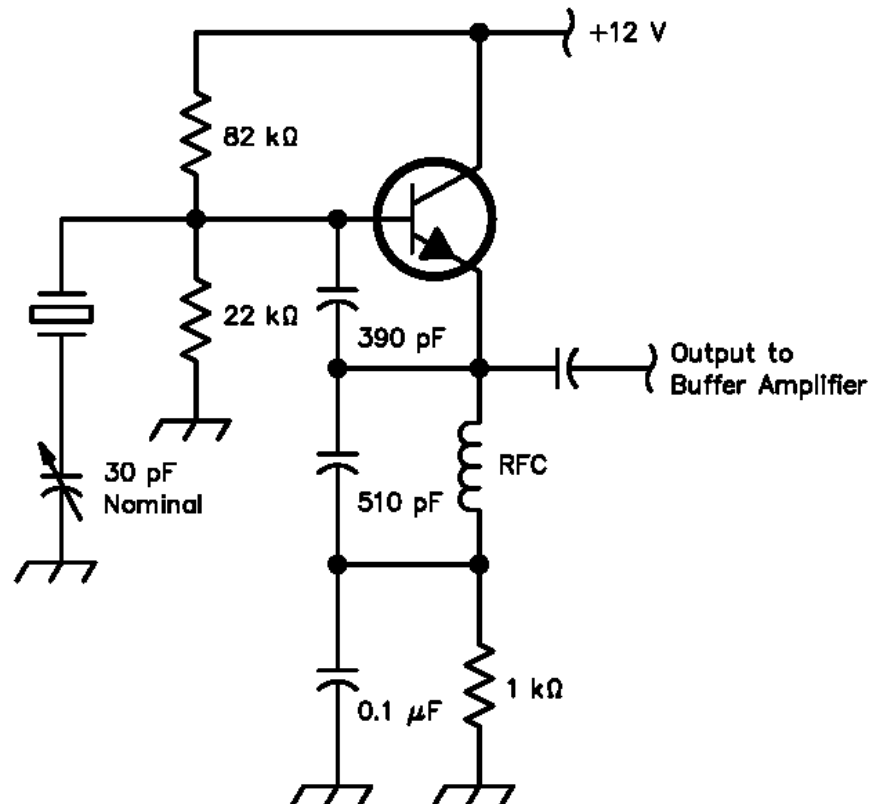
- L1 6.2 uH, 36 turns # 22 AWG on a T-68-6 toroid
- C1 2.4 - 24 pF air variable trimmer cap
- C2 4 - 18 pF air variable cap with reduction gear
- Q1, Q2 J310, 2N4416, MPF102
- Q3 2N3904
- D1 6.2 volt / 400 mW zener diode
- L2 2.9 uH 27 turns T-50-6 , 5 secondary

All fixed-value picofarad caps are ceramic NP0 type



## Ejemplos de esquemas reales de osciladores (IV)

(obtenidos del ARRL Handbook 2001 y de notas de aplicación de National Semiconductor)



TL/H/6791-6

### JFET Pierce Crystal Oscillator

The JFET Pierce crystal oscillator allows a wide frequency range of crystals to be used without circuit modification. Since the JFET gate does not load the crystal, good Q is maintained thus insuring good frequency stability.

## Parámetros características de los osciladores

- Margen de frecuencia.
- Estabilidad  $\Rightarrow$  Mayor cuanto mayor es el factor de calidad “Q” de la red de realimentación.
- Potencias (absoluta de salida sobre  $50\Omega$  ) y rendimientos (Potencia de señal / potencia de alimentación).
- Nivel de armónicos y espurias  $\Rightarrow$  potencias relativas de uno o varios armónicos con relación al fundamental.
- “Pulling” o estabilidad frente a la carga  $\Rightarrow$  uso de separadores.
- “Pushing” o estabilidad frente a la alimentación  $\Rightarrow$  uso de estabilizadores de tensión (zeners, 78LXX, etc.).
- Deriva con la temperatura  $\Rightarrow$  Condensadores NP0, de mica, etc.
- Espectro de ruido  $\Rightarrow$  Se debe fundamentalmente a ruido de fase.